

# ۶

## میدان مغناطیسی ساکن در اجسام و انرژی مغناطیسی

در فصل قبل میدان مغناطیسی ناشی از انواع توزیعهای جریان را در فضای آزاد مطالعه نمودیم. اکنون، در ادامه بحث خود پیرامون میدان مغناطیسی ساکن، به بررسی تأثیرات ماده و میدان مغناطیسی بر یکدیگر می‌پردازیم. وقتی که یک جسم در معرض میدان مغناطیسی واقع می‌شود، ذرات باردار در اتمهای جسم از خود عکس العمل نشان می‌دهند که به شکل پدیدآمدن میدان جدیدی بروز می‌کند. ویژگیهای این میدان جدید به خواص مغناطیسی جسم بستگی دارد. در اینجا نیز به همان صورتی که در مورد ماده و میدان الکتریکی عمل کردیم، خواص مغناطیسی ماده را به طور کیفی در مقیاس میکروسکوپی مورد تجزیه و تحلیل قرار می‌دهیم، ولی تأثیر ماده بر میدان، یعنی تغییراتی که حضور یک جسم در میدان مغناطیسی به وجود می‌آورد و نتایجی که دارای اهمیت کاربردی و مهندسی هستند، را در مقیاس ماکروسکوپی مطالعه می‌کنیم.

### ۱- خواص مغناطیسی اجسام و دسته‌بندی آنها

برای تشریح خواص مغناطیسی اجسام از مدل ساده شده اتم استفاده می‌کنیم. بر اساس چنین مدلی، در هر اتم الکترونها در مدارهای دایره‌ای شکلی به دور هسته گردش می‌کنند و در عین حال هر الکترون حول محوری به دور خود نیز می‌چرخد. این حرکات الکترونها که شبیه حرکات انتقالی و وضعی کره زمین هستند را به ترتیب حرکت مداری و حرکت چرخشی می‌نامیم. علاوه بر الکترونها، هسته نیز به نوبه خود دارای حرکت چرخشی می‌باشد. از آنجاکه حرکت ذرات باردار ایجاد جریان الکتریکی می‌کند، حرکات مداری و چرخشی ذرات اتم را می‌توان به منزله حلقه‌های جریان و به تعبیر دیگر به عنوان دوقطبی‌های مغناطیسی با گشتاورهایی در مقیاس اتمی دانست. گشتاور مداری یک الکtron مقادیر متفاوتی را بسته به نوع اتم و شعاع مدار الکtron دارا است، ولی محاسبات مکانیک کوانتومی نشان می‌دهد که گشتاور چرخشی هر الکtron فقط ممکن است یکی از دو مقدار  $10^{-24} \text{ نمایم}$  را برابر حسب

واحد آمپر مترمربع به خود اختصاص دهد. بدین ترتیب هر اتم را می‌توان به صورت مجموعه‌ای از دوقطبی‌های مغناطیسی در نظر گرفت که گشتاور کل آن ممکن است مقداری برابر صفر یا غیر صفر داشته باشد. اما، هسته اتم به دلیل جرم سنگینش دارای سرعت چرخشی به مراتب کوچک‌تر از سرعت چرخش یک الکترون است، به طوری که جریان ناشی از چرخش هسته بسیار کوچک‌تر از جریان حاصل از چرخش یک الکترون بوده و در نتیجه از گشتاور مغناطیسی هسته در مقابل گشتاور چرخشی الکترون می‌توان صرف نظر کرد. پس به طور خلاصه، حاصل جمع گشتاورهای مداری و چرخشی الکترونهای یک اتم، گشتاور مغناطیسی خالص آن اتم را تشکیل می‌دهد و چگونگی ترکیب گشتاورهای اتمهای یک جسم خاصیت مغناطیسی آن را تعیین می‌کند. بنابراین، ماهیت و خواص مغناطیسی اجسام را می‌توان فقط در حرکات مداری و چرخشی الکترونها جستجو کرد.

به طور کلی سه پدیده مغناطیسی اصلی به نامهای دیامغناطیس<sup>۱</sup>، پارامغناطیس<sup>۲</sup> و فرومغناطیس<sup>۳</sup> شناخته شده‌اند که پدیده اول به حرکت مداری الکترونها نسبت داده می‌شود و دو پدیده دیگر را ناشی از حرکت چرخشی الکترونها می‌دانند. علاوه بر پدیده‌های مزبور دو پدیده دیگر به نامهای ضدفرومغناطیس<sup>۴</sup> و فرمغناطیس<sup>۵</sup> نیز وجود دارند که شکلهای تغییر یافته پدیده فرومغناطیس محسوب می‌شوند. وقتی که جسمی تحت یک میدان مغناطیسی خارجی قرار می‌گیرد یکی از پدیده‌های مذکور به طور عمده در جسم رخ می‌دهد. بر حسب اینکه تأثیر کدام پدیده جنبه غالب داشته باشد، جسم را از نظر خاصیت مغناطیسی به اسم آن پدیده نامگذاری می‌کنند. در اینجا به اختصار به شرح هر یک از این پدیده‌ها می‌پردازم.

### دیامغناطیس

در بسیاری از اجسام گشتاور مغناطیسی کل هر اتم در غیاب یک میدان مغناطیسی خارجی برابر صفر است. برای آنکه بینیم اعمال یک میدان مغناطیسی چه تأثیری بر این گونه اجسام می‌گذارد، تغییراتی را که در حرکت مداری الکترون به وجود می‌آید مورد بررسی قرار می‌دهیم. برای این منظور الکترونی را در نظر می‌گیریم که قبل از اعمال میدان خارجی در مداری به شعاع  $a$  و با سرعت زاویه‌ای  $\omega$  حول هسته اتم خود گردش کند. گردش الکترون به دور هسته را می‌توان معادل جریان  $I = e\omega a / 2\pi$  و در خلاف جهت حرکت الکترون دانست. بنابراین، گشتاور مغناطیسی ناشی از گردش این الکترون به دور هسته برابر  $\frac{e\omega}{2\pi} \cdot \pi a^2 \cdot m$  خواهد بود. نیرویی که حرکت دورانی الکترون به دور هسته را تأمین می‌کند همان نیروی جاذبه کولمب بین بار منفی الکترون و بار مثبت هسته است. حال فرض کنید که یک میدان مغناطیسی خارجی با چگالی شار  $B$  بر الکترون اعمال شود. برای سادگی میدان را عمود بر صفحه مدار الکترون در نظر می‌گیریم. میدان  $B$  بر الکترون متوجه نیرو وارد می‌آورد، به طوری که پس از اعمال میدان، الکترون باید تحت تأثیر دو نیرو، یکی نیروی کولمب و دیگری نیروی مغناطیسی ناشی از  $B$ ،

1 - *Diamagnetism*

2 - *Paramagnetism*

3 - *Ferromagnetism*

4 - *Antiferromagnetism*

5 - *Ferrimagnetism*

به حرکت خود ادامه دهد. بدینه است که تغییر نیروی کل اعمال شده بر الکترون باید تغییر شعاع مدار یا تغییر سرعت زاویه‌ای آن را به دنبال داشته باشد. ولی ضرورت‌های مکانیک کوانتومی ایجاب می‌کند که شعاع مدار الکترون ثابت بماند.<sup>۱۰</sup> لذا اعمال میدان  $B$  منجر به تغییر سرعت زاویه‌ای الکترون از  $\omega_0$  به  $\omega$  و در نتیجه تغییر گشتاور مغناطیسی  $m_e$  به  $m$  می‌شود. می‌توان نشان داد که تغییر گشتاور برابر  $\Delta m = m - m_0 = -e^2 a^2 B / 4m_e$  است، که جرم الکترون است (مطالعه جزئیات بیشتر به مسئله ۱ خود از مایی موکول می‌گردد). ملاحظه می‌کنیم که این تغییر گشتاور به جهت گردش الکترون بستگی ندارد. به عبارت دیگر، اگر دو الکترون در دو جهت مخالف یکدیگر در یک مدار گردش کنند، تغییر گشتاور برای هر دو در یک جهت خواهد بود. بنابراین می‌توان چنین نتیجه گرفت که یک اتم حتی وقتی که گشتاور مغناطیسی کل آن صفر است پس از اعمال میدان دارای گشتاور خالص غیرصفر می‌شود و به بیان دیگر میدان گشتاوری را در اتم القا می‌کند. القای گشتاور مغناطیسی در یک جسم در حقیقت به منزله مغناطیس شدن جسم است، زیرا جسم خود به صورت منبع میدان مغناطیسی عمل می‌کند. گشتاور القا شده در اتمها مشأ میدان مغناطیسی ثانویه‌ای می‌شود که در خلاف جهت میدان خارجی ( $\Delta m$  و  $B$ ) در خلاف جهت یکدیگرند) ولی بسیار ضعیفتر از آن می‌باشد. این پدیده، که مغناطیس شدن یک جسم در خلاف جهت میدان اعمال شده است و نظر قطبی شدن اجسام عایق تحت تأثیر میدان الکتریکی است، را دیامغناطیس و اجسامی که گشتاور مغناطیسی خالص هر یک از اتمها یشان در غیاب یک میدان خارجی برابر صفر است و در نتیجه این پدیده در انها روی می‌دهد را اجسام دیامغناطیسی نامند. میدان مغناطیسی در اجسام دیامغناطیسی معمولاً به میزان بسیار ناچیزی از میدان اعمال شده کوچکتر است. پدیده دیامغناطیس مستقل از دما بوده و بدینه است که در کلیه اجسام، وقتی که در معرض میدان مغناطیسی واقع شوند، رخ می‌دهد. ولی باید توجه داشت که همه اجسام دیامغناطیسی نیستند، زیرا پدیده‌های دیگر ممکن است خاصیت دیامغناطیسی جسم را تحت الشعاع قرار داده و به آن خواص دیگری ببخشد. مس، روی، سیلیسیم، نقره و جیوه نمونه‌هایی از اجسام دیامغناطیسی هستند.

### پارامغناطیس

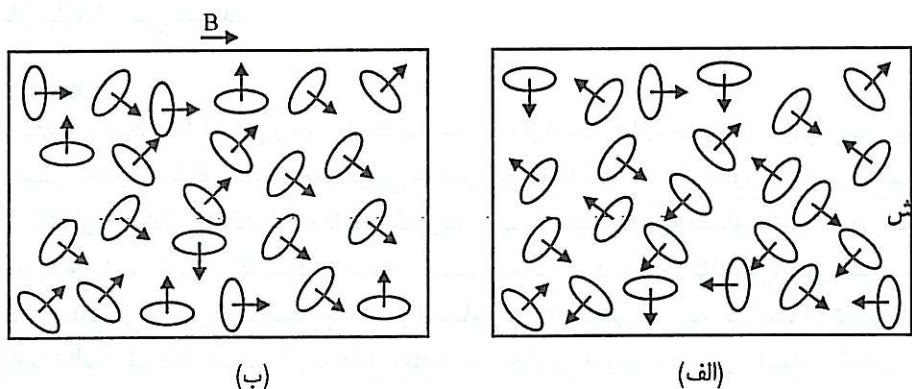
دسته‌های دیگری از اجسام وجود دارند که هر یک از اتمها یشان، حتی در غیاب یک میدان مغناطیسی خارجی، دارای گشتاور مغناطیسی خالص غیرصفر است. این گشتاور غیرصفر ناشی از فزونی گشتاور چرخشی بر گشتاور مداری الکترونها است. بر حسب اینکه گشتاور اتمها در این قبیل اجسام به چه نحو با یکدیگر ترکیب شوند، جسم ممکن است پارامغناطیسی، فرومغناطیسی، ضدفرومغناطیسی یا فری‌مغناطیسی باشد. در اجسام پارامغناطیسی گرچه هر یک از اتمها دارای گشتاور خالص غیرصفر است ولی به دلیل اغتشاشات حرارتی موجود در درون آنها، دوقطبی‌های

<sup>۱۰</sup> مکانیک کوانتومی پیش‌بینی می‌کند که الکترونها می‌توانند فقط در مدارهای معینی باشند، یعنی شعاع مدار الکترون کوانتیده بوده و نمی‌تواند به طور پیوسته تغییر کند. در این مبحث، به دلیل کوچک بودن نیروی مغناطیسی، شعاع مدار الکترون ثابت باقی می‌ماند.

مغناطیسی اتمها فاقد هر گونه آرایش منظم بوده و در کلیه جهات به طور تصادفی توزیع می‌شوند، به طوری که جسم در مجموع از نظر مغناطیسی خنثی است. اعمال یک میدان مغناطیسی خارجی، همان گونه که در شکل ۱-۶ نشان داده شده است، دوقطبی‌های اتمی را تحت گشتاور قرار داده و آنها را به طور نسبی با خود هم‌جهت می‌سازد. البته، اغتشاشات حرارتی همواره سعی در برهم زدن آرایش دوقطبی‌ها داشته و از این‌رو هم‌جهتی دوقطبی‌ها با میدان به طور کامل صورت نمی‌پذیرد. در واقع هرچه میدان قوی‌تر باشد، دوقطبی‌ها بهتر و بیشتر با میدان هم‌جهت می‌شوند. آرایش دوقطبی‌های مغناطیسی اتمی در اجسام پارامغناطیسی به گونه‌ای است که میدان کل حاصل از آنها هم‌جهت با میدان خارجی ولی بسیار ضعیفتر از آن است. بنابراین میدان مغناطیسی در اجسام پارامغناطیسی به میزان ناچیزی بزرگ‌تر از میدان خارجی است. پدیده مغناطیس شدن یک جسم را به طور ضعیف و در جهت میدان اعمال شده پارامغناطیس نامند. نظر به اینکه اغتشاشات حرارتی در برهم زدن آرایش دوقطبی‌های اتمی دخالت دارند، پارامغناطیس تابع دمای جسم بوده و هرچه دما افزایش یابد این پدیده به میزان ضعیفتری بروز می‌کند. نمونه‌هایی از اجسام پارامغناطیسی الومینیم، کرم، منگنز، قلع و پلاتین می‌باشند.

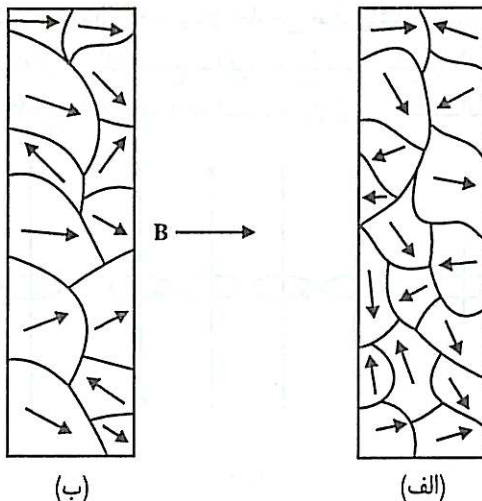
### فرومغناطیس

برخی اجسام مانند آهن، نیکل، کبالت و آلیاژهای آنها تحت تأثیر یک میدان مغناطیسی خارجی به میزان بسیار زیادی در جهت میدان اعمال شده مغناطیس می‌شوند، به طوری که میدان مغناطیسی در درون این گونه اجسام به مراتب بزرگ‌تر از میدان اعمال شده به آنها است (تا چندین هزار و حتی چندین صد هزار برابر بزرگ‌تر). ماهیت چنین رفتاری در اجسام مزبور به تشکیل خود به خودی حوزه‌های مغناطیسی در نواحی کوچک ماکروسکوپی با ابعادی در حدود میکرون تا میلیمتر و حتی سانتیمتر نسبت داده می‌شود که در ادامه به شرح آن خواهیم پرداخت. پدیده مغناطیس شدن خود به خودی را فرومغناطیس و اجمالی که این پدیده در آنها روی می‌دهد را اجسام فرومغناطیسی نامند. پدیده



شکل ۱-۶: اجسام پارامغناطیسی (الف) توزیع تصادفی دوقطبی‌های مغناطیسی اتمی در غیاب میدان خارجی (ب) هم‌جهتی نسبی دوقطبی‌های مغناطیسی با میدان خارجی پس از اعمال میدان مغناطیسی  $B$

فرومغناطیس فقط وقتی که دمای جسم پایین تر از یک دمای بحرانی موسوم به دمای کوری باشد روی می‌دهد.<sup>۱</sup> در دمای بالاتر از دمای کوری خاصیت فرمغناطیس از بین رفته و جسم به صورت پارامغناطیسی رفتار می‌کند. توجیه رفتار اجسام فرمغناطیسی به کمک نظریه دانشمندی به نام وايس<sup>۱</sup>، که در سال ۱۹۰۶ ارائه گردید، امکان پذیر است. بر اساس این نظریه، در اجسام فرمغناطیسی یک میدان بسیار قوی ناشی از تراکنش دوقطبی‌های اتمی مجاور، کلیه آنها را در نواحی کوچکی موسوم به حوزه در یک امتداد قرار می‌دهد. مطالعه این میدان فقط به کمک نظریه مکانیک کوانتو میسر است که خارج از بحث ما است. حوزه‌ها در حقیقت مغناطیسی‌های اتمی بسیار کوچکی هستند که در غیاب یک میدان مغناطیسی خارجی در همه جهات به طور تصادفی توزیع می‌شوند. توزیع تصادفی حوزه‌ها، که در شکل ۲-۶-الف نشان داده شده است، ناشی از این اصل است که همه سیستمها در طبیعت مایل به باقی ماندن در وضعیت حداقل انرژی هستند. بنابراین، یک قطعه جسم فرمغناطیسی از نظر مغناطیسی خنثی است (البته بدون در نظر گرفتن پدیده پسماند که در همین فصل شرح آن خواهد آمد). با اعمال یک میدان مغناطیسی خارجی، حوزه‌هایی که از ابتدا هم جهتی بیشتری با میدان خارجی دارند، در ازای کوچکتر شدن بقیه حوزه‌ها، گسترش می‌یابند. در صورتی که میدان خارجی به اندازه کافی قوی باشد بروخی حوزه‌ها از طریق چرخیدن با میدان هم جهت می‌شوند. شکل ۲-۶-ب هم جهتی نسبی حوزه‌ها با میدان خارجی را نشان می‌دهد. ایجاد حوزه‌های نسبتاً وسیع و هم جهت (به طور نسبی) با میدان خارجی به معنای به وجود آمدن یک میدان مغناطیسی بسیار قوی‌تر از میدان خارجی در درون جسم است. اگر میدان خارجی ضعیف باشد، پس از برداشتن آن، حوزه‌ها و در نتیجه خود جسم به



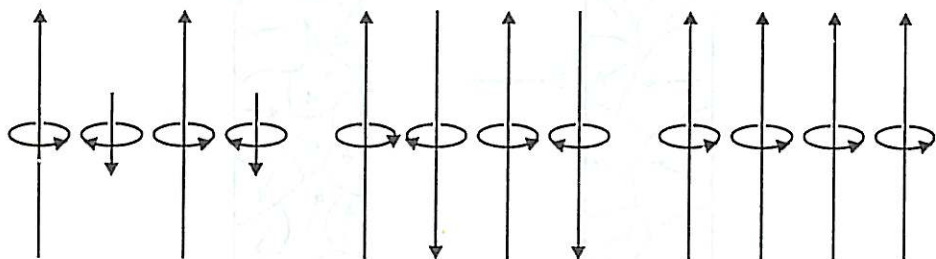
شکل ۲-۶: اجسام فرمغناطیسی (الف) توزیع تصادفی حوزه‌ها در غیاب میدان خارجی (ب) گسترش و چرخش حوزه‌ها پس از اعمال میدان خارجی و هم جهتی نسبی آنها با میدان

<sup>۱</sup> دمای کوری (Curie Temperature) برای آهن  $1043\text{ K}$ ، برای نیکل  $631\text{ K}$  و برای کبات  $1394\text{ K}$  می‌باشد.

وضعیتی نزدیک به وضعیت قبل از اعمال میدان برمی‌گردد. ولی اگر میدان خارجی به اندازه کافی قوی باشد گسترش حوزه‌ها به حدی می‌رسد که دیگر بازگشت به حالت اولیه غیرممکن می‌شود و پس از برداشتن میدان خارجی، جسم مقداری از مغناطیس القا شده در خود را حفظ می‌کند. بنابراین، اگر یک جسم فرومغناطیسی تحت یک میدان مغناطیسی قوی قرار داده شود، پس از حذف میدان جسم به صورت مغناطیس دائم (آهن‌ریا) عمل می‌کند. این پدیده را که وضعیت کنونی جسمی از نظر مغناطیس بودن، به وضعیت مغناطیسی گذشته‌اش بستگی داشته باشد، پسماند (هیسترزیس<sup>۱</sup>) نامند. (هیسترزیس یک کلمه یونانی به معنای تأخیر است. در اجسام فرومغناطیسی بازگشت حوزه‌ها به حالت اولیه توأم با تأخیر است). مبحث پسماند به طور مشروح تری در قسمت ۷-۶ مطالعه خواهد شد. بر خلاف اجسام دیامغناطیسی و پارامغناطیسی که میدان مغناطیسی ثانویه در آنها به طور خطی با میدان اعمال شده تغییر می‌کند، میدان مغناطیسی در اجسام فرومغناطیسی تابعی غیرخطی از میدان اعمال شده است.

### ضدفرمغناطیس و فرمغناطیس

این دو پدیده شکل‌های تغییر یافته فرمغناطیس در اجسامی هستند که دارای دو دسته اتم با پیوندهای قوی بین اتمی می‌باشند. اگر گشتاور چرخشی مربوط به این دو دسته اتم، مطابق شکل ۳-۶-الف، موازی و همجهت با یکدیگر قرار بگیرند جسم فرمغناطیسی است. دلیل فرمغناطیسی بودن برخی آلیاژهای منگنز که خود عنصری غیرفرمغناطیسی است، به وجود آمدن گشتاورهای چرخشی همجهت، مطابق شکل ۳-۶-الف، در آنها است. اما اگر، همان‌گونه که شکل ۳-۶-ب نشان می‌دهد، گشتاورهای اتمی موازی و مختلف‌الجهت و دارای اندازه‌های مساوی باشند به طوری که گشتاور کل جسم حتی پس از اعمال یک میدان خارجی صفر باشد، جسم ضدفرمغناطیسی نامیده می‌شود. اکسید منگنز نمونه‌ای از یک جسم ضدفرمغناطیسی است. بالاخره، اگر گشتاورهای اتمی، همان‌طور که در شکل ۳-۶-ج نشان داده شده است، موازی و مختلف‌الجهت ولی با اندازه‌های



شکل ۳-۶: آرایش گشتاورهای اتمی در (الف) اجسام فرمغناطیسی (ب) اجسام ضدفرمغناطیسی (ج) اجسام فرمغناطیسی

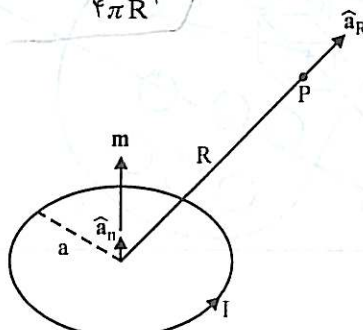
نامساوی باشند، گفته می شود که جسم از نوع فری مغناطیسی است. گروهی از اجسام فری مغناطیسی موسوم به فریتها هستند که از ترکیب  $Fe_3O_4$  با اکسید فلزاتی از قبیل آهن، منگنز، کالت و نیکل به وجود می آیند. فریتها دارای کاربردهای صنعتی فراوانی هستند، زیرا هدایت الکتریکی آنها کم است و اتلاف دمای به مراتب کمتری از اجسام فرومغناطیسی دارند، در حالی که خواص مغناطیسی آنها با اجسام فرمغناطیسی قابل مقایسه است. اکسید آهن با فرمول  $Fe_3O_4$  نمونه‌ای از فریت و یک جسم فری مغناطیسی است.

به طور خلاصه، در این قسمت بیان شد که هر گاه جسمی در معرض میدان مغناطیسی واقع شود، در صورتی که از نوع دیامغناطیسی باشد دوقطبی های مغناطیسی اتمی در خلاف جهت میدان در آن پدید می آیند و چنانچه از انواع دیگر باشد دوقطبی های موجود در آن به سمت هم جهت شدن با میدان میل داده می شوند. و بنابراین همواره این نتیجه حاصل می شود که، به جز در اجسام ضد فرومغناطیسی، اعمال میدان به پدید آمدن یک گشتاور مغناطیسی با مقدار متوسط غیر صفر در جسم می انجامد. پیدایش گشتاور مغناطیسی در جسم را تحت تأثیر یک میدان خارجی مغناطیس شدن یا قطبی شدن مغناطیسی جسم می نامیم. مغناطیس شدن یک جسم در میدان مغناطیسی نظیر قطبی شدن یک عایق در میدان الکتریکی است.

## ۶-۲ میدان مغناطیسی در حضور اجسام

اکنون که با چگونگی مغناطیس شدن اجسام مختلف تحت تأثیر یک میدان مغناطیسی آشنا شده‌ایم به بررسی کمی مسئله در مقیاس ماکروسکوپی می پردازیم. یک جسم مغناطیس شده را می توان به منزله مجموعه‌ای از دوقطبی های مغناطیسی در خلاً تلقی کرد. در فصل قبل مسئله یک دوقطبی مغناطیسی، به صورت یک حلقه دایره‌ای شکل به شعاع  $a$  و حامل جریان  $I$  مطابق شکل ۶-۴، را مطالعه نمودیم. برای دوقطبی گشتاور مغناطیسی  $m = I\pi a^2 \hat{a}_n$ ، که  $\hat{a}_n$  بردار واحد عمود بر صفحه حلقه است، را تعریف کرده و نشان دادیم که پتانسیل مغناطیسی برداری حاصل از دوقطبی در فواصل دور از آن از رابطه  $5-6$ ، که به صورت زیر است، به دست می آید.

$$A = \frac{\mu \cdot m \times \hat{a}_R}{4\pi R^2} \quad R > a \quad (6)$$

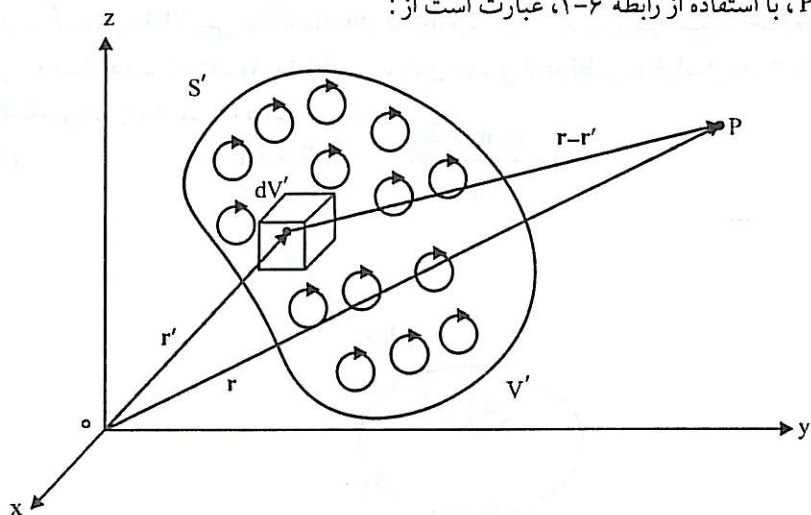


شکل ۶-۴: دوقطبی مغناطیسی با گشتاور  $m$

برای بیان میزان مغناطیس شدگی اجسام مختلف کمیتی برداری، موسوم به بردار مغناطیس شدگی یا بردار پلاریزاسیون مغناطیسی، که با حرف  $M$  نمایش داده می‌شود را تعریف می‌کنیم. این بردار نظیر بردار  $P$  در مورد قطبی شدن اجسام در میدان الکتریکی می‌باشد. بردار  $M$  به صورت میزان گشتاور دوقطبی مغناطیسی در واحد حجم یا چگالی گشتاور دوقطبی مغناطیسی تعریف می‌شود و در حالت کلی تابعی از مختصات نقاط جسم است. برای تعیین  $M$  در نقطه‌ای از جسم، عنصر حجم  $\Delta V$  را حول آن نقطه در نظر گرفته و حاصل جمع گشتاورهای اتمها یا مولکولهای موجود در آن را به دست آورده و نتیجه را بر  $\Delta V$  تقسیم می‌کنیم. بنابراین اگر  $N$  تعداد اتمها یا مولکولها در واحد حجم و  $m_i$  گشتاور اتم یا مولکول  $i$  ام در حجم  $\Delta V$  باشد، می‌توان نوشت:

$$M = \lim_{\Delta V \rightarrow 0} \frac{1}{\Delta V} \sum_{i=1}^{N \Delta V} m_i = Nm \quad (2-6)$$

که  $m$  گشتاور متوسط به ازای یک اتم یا مولکول است. بردار  $M$  منشأ میدان مغناطیسی ثانویه‌ای در درون و اطراف جسم می‌شود که در خلاف جهت میدان اعمال شده برای اجسام دیامغناطیسی و هم جهت با آن برای سایر اجسام می‌باشد. میدان کل در هر نقطه از فضا از حاصل جمع میدانهای اولیه و ثانویه به دست می‌آید. برای مطالعه میدان ثانویه، جسمی با حجم  $V'$  و محدود به سطح بسته  $S'$ ، مطابق شکل ۶-۵، در نظر گرفته و فرض می‌کنیم که چگالی گشتاور دوقطبی مغناطیسی موجود در آن با تابع معلوم  $(r')M$  مشخص گردیده باشد. گشتاور مغناطیسی  $M$  در جسم ممکن است در اثر قرار گرفتن آن در یک میدان مغناطیسی خارجی و یا ناشی از فرومغناطیسی بودن خود جسم در وضعیت مغناطیس دائمی باشد. عنصر حجم  $dV'$  را در نقطه دلخواهی در درون جسم در نظر می‌گیریم. این عنصر حجم را می‌توان به منزله یک دوقطبی مغناطیسی با گشتاور  $M dV'$  دانست که پتانسیل برداری ناشی از آن در نقطه  $(r')$ ، با استفاده از رابطه ۱-۶، عبارت است از:



شکل ۶-۵: محاسبه پتانسیل برداری ناشی از گشتاور مغناطیسی القا شده در یک جسم

$$dA = \frac{\mu_0 M dV' \times \hat{a}_R}{4\pi R^2} = \frac{\mu_0}{4\pi} \left( M \times \frac{\hat{a}_R}{R^2} \right) dV' = \frac{\mu_0}{4\pi} M \times \nabla' (1/R) dV' \quad (3-6)$$

در استخراج رابطه ۳-۶ از تساوی  $(1/R) \hat{a}_R / R^2 = \nabla' (1/R)$ ، که در آن علامت پریم به معنای مشتق گرفتن نسبت به  $r'$  است، استفاده شده است. با به کار بردن اتحاد برداری  $\nabla \times (U A_1) = \nabla U \times A_1 + U \nabla \times A_1$  در آن  $U$  و  $A_1$  به ترتیب توابع نرده‌ای و برداری دلخواه هستند، می‌توان نشان داد که:

$$M \times \nabla' \left( \frac{1}{R} \right) = \frac{1}{R} \nabla' \times M - \nabla' \times \left( \frac{M}{R} \right) \quad (4-6)$$

با استفاده از رابطه ۴-۶ در رابطه ۳-۶ می‌توان نوشت:

$$dA = \frac{\mu_0}{4\pi} \left[ \frac{\nabla' \times M}{R} - \nabla' \times \left( \frac{M}{R} \right) \right] dV' \quad (5-6)$$

سرانجام، پتانسیل برداری ناشی از تمامی گشتاور مغناطیسی جسم را با انتگرال گرفتن از طرفین رابطه ۶-۵ در حجم  $V'$  به دست می‌آوریم:

$$A = \frac{\mu_0}{4\pi} \int_{V'} \frac{\nabla' \times M}{R} dV' - \frac{\mu_0}{4\pi} \int_{V'} \nabla' \times \left( \frac{M}{R} \right) dV' \quad (6-6)$$

اکنون با استفاده از اتحاد برداری  $\int_V (\nabla \times A_1) dV = - \oint_S A_1 \times dS$ ، که اثبات آن در پاورقی ارائه شده است، انتگرال دوم در عبارت سمت راست رابطه ۶-۶ را به یک انتگرال سطح تبدیل کرده و رابطه مذکور را به صورت زیر می‌نویسیم:

$$A = \frac{\mu_0}{4\pi} \int_{V'} \frac{\nabla' \times M}{R} dV' + \frac{\mu_0}{4\pi} \oint_{S'} \frac{M \times \hat{a}_n}{R} dS' \quad (7-6)$$

قبلانشان دادیم که پتانسیل برداری ناشی از توزیع جریان سطحی  $J$  و توزیع جریان حجمی  $J$  به ترتیب از روابط انتگرالی ۵۹-۵ و ۵۹-۶ به دست می‌آیند. مقایسه انتگرال‌های رابطه ۷-۶ با انتگرال‌های روابط ۵۹-۵ و ۵۹-۶ روشن می‌سازد که پتانسیل برداری حاصل از پلازماسیون مغناطیسی  $M$  را می‌توان به

لطف برای اثبات اتحاد  $\int_V (\nabla \times A_1) dV = - \oint_S A_1 \times dS$  که در آن  $A_1$  یک بردار دلخواه و  $V$  یک حجم دلخواه محدود به سطح بسته  $S$  می‌باشد، ابتدا حاصل ضرب داخلی جمله سمت چپ در  $\hat{a}_x$  را به دست آورده و سپس از قضیه دیورزانس استفاده می‌کنیم:

$$\hat{a}_x \cdot \int_V (\nabla \times A_1) dV = \int_V \hat{a}_x \cdot \nabla \times A_1 dV = - \int_V \nabla \cdot (\hat{a}_x \times A_1) dV$$

$$= - \oint_S \hat{a}_x \times A_1 \cdot dS = - \oint_S \hat{a}_x \cdot (A_1 \times dS) = - \hat{a}_x \cdot \oint_S A_1 \times dS$$

به همین ترتیب می‌توان نشان داد که:

$$\hat{a}_y \cdot \int_V (\nabla \times A_1) dV = - \hat{a}_y \cdot \oint_S A_1 \times dS$$

$$\hat{a}_z \cdot \int_V (\nabla \times A_1) dV = - \hat{a}_z \cdot \oint_S A_1 \times dS$$

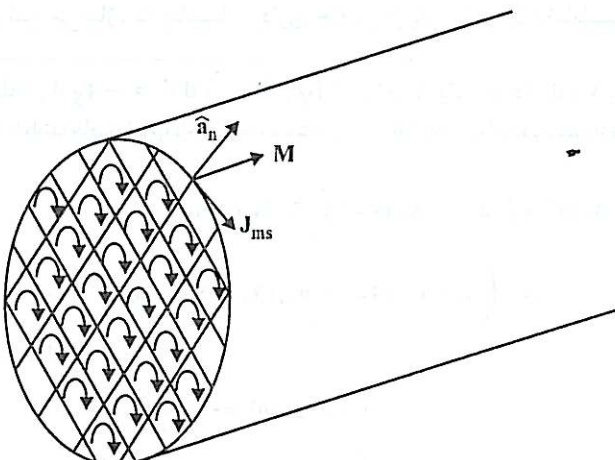
به دلیل تساوی مؤلفه‌های همنام در رابطه برداری  $\int_V (\nabla \times A_1) dV = - \oint_S A_1 \times dS$ ، درستی این رابطه محقق است.

دو نوع توزیع جریان منسوب نمود: یکی توزیع جریان حجمی  $M \times \nabla' \times M$  در حجم  $V'$  و دیگری توزیع جریان سطحی  $J_{ms} = M \times \hat{a}_n$  روی سطح  $S'$ ، اگر چه این جریانهای مغناطیسی، که به جریانهای آمپری نیز موسومند، همانند جریانهای ناشی از حرکت بارهای آزاد (که ممکن است آنها را جریانهای آزاد بنامیم) نیستند، ولی همانند جریانهای آزاد تولید میدان مغناطیسی می‌کنند. این جریانها را می‌توان، در شابه با بارهای الکتریکی مقید که ضمن قطبی شدن اجسام عایق تحت تأثیر میدان الکتریکی به وجود می‌آیند، جریانهای مقید نامید.

بدین ترتیب، برای محاسبه میدان مغناطیسی ناشی از یک جسم مغناطیس شده با چگالی  $M$  می‌توان جسم را با جریانهای مغناطیسی معادل  $J_m$  و  $J_{ms}$  در خلاً جایگزین نمود و سپس یکی از روشهای محاسبه میدان مغناطیسی، که در فصل گذشته مطالعه گردیدند، را به کار ببرد. به عنوان مثال اگر بخواهیم از روش مبتنی بر قانون بیو-ساوار استفاده کنیم، با استفاده از روابط ۱۱-۵ و ۱۲-۵ می‌توان نوشت:

$$B = \frac{\mu_0}{4\pi} \int_{V'} \frac{J_m \times \hat{a}_R}{R^2} dV' + \frac{\mu_0}{4\pi} \oint_{S'} \frac{J_{ms} \times \hat{a}_R}{R^2} dS' \quad (8-6)$$

برای روش ساختن ماهیت فیزیکی جریانهای آمپری، یک میله استوانه‌ای شکل به طول  $L$ ، مطابق شکل ۶-۶، را در نظر گرفته و فرض می‌کنیم که به طور یکنواخت با چگالی  $M$  مغناطیس شده باشد. تصور کنید که این میله به نواحی بسیار کوچکی با ابعاد اتمی، که در شکل به گونه اغراق‌آمیزی نشان داده شده‌اند، تقسیم گردد و در هر ناحیه یک اتم قرار بگیرد. در هر یک از این نواحی میکروسكوبی یک جریان حلقه‌ای متعلق به اتم موجود در آن و به اندازه  $J_{ms}$  برقرار است. همه جریانهای حلقه‌ای به دلیل یکنواختی مغناطیس بودن میله با یکدیگر برابرند. با مراجعه به شکل ۶-۶ می‌توان مشاهده نمود که جریان هر ناحیه کوچک در درون جسم با جریانهای نواحی مجاور به طور کامل خشی می‌شود، ولی جریانهای آن عده از نواحی که به سطح استوانه منتهی می‌شوند در بخشی از محیط‌های خود خشی نشده



شکل ۶-۶: یک میله استوانه‌ای شکل مغناطیس شده و ماهیت فیزیکی جریانهای مغناطیسی آن

باقی می مانند و در مجموع تشکیل یک جریان سطحی را می دهند که مقدار آن همان  $J_{ms}$  است. حال گشتاور مغناطیسی کل میله از یک طرف برابر MSL و از طرف دیگر برابر حاصل جمع گشتاورهای تقسیمات ایجاد شده در میله یعنی برابر  $S J_{ms}$  است، که  $S$  مساحت سطح مقطع میله می باشد. با مساوی قرار دادن این دو مقدار، نتیجه  $M = J_{ms}$  به دست می آید. اما باید توجه داشت که  $J_{ms} \neq \hat{a}_n$  بوده در حالی که  $M$  در جهت  $\hat{a}_z$  است و چون  $\hat{a}_z = \hat{a}_x \times \hat{a}_y = \hat{a}_x \times \hat{a}_r = \hat{a}_r$  است، نتیجه به دست آمده را می توان به شکل کلی  $J_{ms} = M \times \hat{a}_n$  نوشت. در صورتی که چگالی مغناطیس شدگی جسم یکنواخت نباشد، جریانهای نواحی میکروسکوپی در درون جسم یکدیگر را کاملاً خنثی نمی کنند و در نتیجه یک جریان مغناطیسی حجمی در درون جسم ظاهر می گردد. بدین ترتیب، منشأ جریانهای سطحی و حجمی مغناطیسی را باید جریانهایی دانست که در مقیاس اتمی در جسم وجود دارند. چون  $\nabla' \times M = J_m$  است، دیورژانس  $J_m$  همواره برابر صفر است، از این رو جریان مغناطیسی حجمی نمی تواند منجر به انشاب شدن بار الکتریکی شود. به علاوه جریانهای مغناطیسی تولید گرما نمی کنند، زیرا آنها همراه با جابه جا شدن الکترونها، به شکلی که در جریانهای هدایتی رخ می دهد، نیستند.

پس به طور خلاصه پس از حذف علامت پریم از  $\nabla'$  داریم:

$$(9-6) \quad J_{ms} = M \times \hat{a}_n$$

$$(10-6) \quad J_m = \nabla \times M$$

اکنون به خاطر می آوریم که محاسباتی که بدنتاییج به دست آمده در روابط ۶-۷ تا ۱۰-۶ انجامیده است را با رابطه ۱-۶ آغاز نمودیم. اما این رابطه همراه با محدودیتی مبنی بر اینکه نقطه میدان باید در فاصله دوری از دوقطبی مغناطیسی باشد بود، پس اعتبار تاییج به دست آمده وابسته به رعایت شدن محدودیت مذکور است. روش است که برای نقاط بیرون جسم این محدودیت همواره رعایت می شود و بنابراین نتایج مزبور را می توان بدون هیچ گونه ابهامی در محاسبه میدان مغناطیسی به کاربرد. ولی ممکن است سؤال شود که آیا این نتایج برای نقاط درون جسم نیز معتبرند؟ جواب خوب شیخтанه آری است، زیرا در رابطه ۳-۶ وقتی که عنصر حجم  $V$  در حد به سمت صفر میل می کند، شاعع دوقطبی معادل مربوط به عنصر حجم نیز به سمت صفر میل کرده و درستی این رابطه هم چنان به قوت خود باقی است. پس به طور خلاصه از جریانهای سطحی و حجمی آمپری، که در روابط ۶-۹ و ۱۰-۶ داده شده اند، می توان برای محاسبه میدان مغناطیسی ثانویه هم در نقاط بیرون و هم در نقاط درون جسم استفاده نمود.

همان طور که قبل از اشاره شد، جریانهای مقید مغناطیسی همانند جریانهای آزاد الکتریکی تولید میدان مغناطیسی می کنند. بنابراین شکل نقطه ای قانون مداری آمپر در نقطه دلخواهی در درون جسم (که فقط  $J_m$  وجود دارد) به شرح زیر نوشته می شود:

$$(11-6) \quad \nabla \times B = \mu_0 (J + J_m)$$

که  $J$  چگالی جریان آزاد، در صورت وجود، است. با جایگزین نمودن  $J_m$  با  $\nabla \times M$  در رابطه ۱۱-۶، داریم:

$$\nabla \times B = \mu_0 J + \mu_0 \nabla \times M$$

$$J_M = \nabla \times M$$

$$\int H \cdot dL = I$$

۲-۶ میدان مغناطیسی در حضور اجسام

۲۷۸

$$T_{XB} = \mu_0 (J_M + J_H) \quad \text{یا: تغییر جریان مغناطیسی برخط دارد:}$$

$$\nabla \times \left( \frac{B}{\mu_0} - M \right) = J \quad (12-6)$$

در اینجا اقدام به تعریف برداری می‌کنیم که به عنوان شدت میدان مغناطیسی شناخته شده و با علامت  $H$  نمایش داده می‌شود:

$$H = \frac{B}{\mu_0} - M \quad (13-6)$$

$$[H] = \frac{A}{m^2} \times m = \frac{A}{m} \quad \text{آنگاه:} \\ = H \text{ آنری } \quad (14-6)$$

اهمیت  $H$  در آن است که کرل آن مستقل از جریانهای مغناطیسی بوده و همان‌طور که رابطه ۱۴-۶ نشان می‌دهد فقط به چگالی جریان آزاد بستگی دارد. رابطه ۱۴-۶ در حقیقت بیان کلی تری برای شکل نقطه‌ای قانون مداری آمپر است. شکل انتگرالی این قانون بر حسب  $H$  عبارت است از:

$$\oint_C H \cdot dL = I \quad (15-6)$$

که  $I$  کل جریان آزاد در برگرفته شده توسط مسیر بسته  $C$  است. واحد شدت میدان مغناطیسی آمپر برابر ۱ متر است.

در اجسام خطی و همسانگرد بردار  $M$  را می‌توان بر حسب  $H$  یا  $B$  توسط یک رابطه خطی بیان داشت:

$$M = \chi_m H = \frac{\chi_m}{(1+\chi_m)\mu_0} B \quad (16-6)$$

که  $\chi_m$  ضریب حساسیت مغناطیسی جسم نامیده می‌شود. این ضریب در اجسام دیامغناطیسی و پارامغناطیسی که خطی هستند مقدار ثابتی دارد. رابطه ۱۶-۶ را می‌توان برای اجسام غیرخطی نظری اجسام فرومغناطیسی نیز به کار برد، ولی همواره باید به خاطر داشت که ضریب  $\chi_m$  در این دسته اجسام مقدار ثابتی نداشته، بلکه تابعی از  $B$  می‌باشد. با حذف  $M$  از روابط ۱۳-۶ و ۱۶-۶، داریم:

$$B = \mu_0 (H+M) = \mu_0 (1+\chi_m) H = \mu_0 \mu_r H = \mu H \quad (17-6)$$

در رابطه ۱۷-۶  $\mu = 1 + \chi_m$  را قابلیت نفوذ نسبی یا تراوایی نسبی و  $\mu_r = \mu_0 \mu$  را قابلیت نفوذ یا تراوایی جسم می‌نامند.  $\mu$  در اجسام دیامغناطیسی اندکی از واحد کوچک‌تر و در اجسام پارامغناطیسی اندکی از واحد بزرگ‌تر است. ولی در اجسام فرمغناطیسی،  $\mu$  تابعی از میدان  $B$  بوده و مقداری به مراتب بزرگ‌تر از واحد دارد. به طور خلاصه می‌توان نوشت:

$\mu = \begin{cases} 1 & \text{برای اجسام دیامغناطیسی:} \\ 1 & \text{برای اجسام پارامغناطیسی:} \\ > 1 & \text{برای اجسام فرمغناطیسی:} \end{cases}$	$\begin{cases} \mu_r \leq 1 & , \quad \chi_m \leq 0 \\ \mu_r \geq 1 & , \quad \chi_m \geq 0 \\ \mu_r > 1 & , \quad \chi_m > 0 \end{cases}$
--	--

نه یک جسم از نظر مغناطیسی خطی است اگر اندازه بردار  $M$  ایجاد شده در آن در هر نقطه متناسب با اندازه میدان کل در آن نقطه باشد و یک جسم از نظر مغناطیسی همسانگرد است وقتی که بردار  $M$  در هر نقطه آن موازی بردار میدان کل در آن نقطه باشد.

**۱ - Magnetic Susceptibility**  $\int H \cdot dL = I$   $\rightarrow$  از اینجا

$$M \leftarrow B = M_0 (H+M) \quad \text{حالت خالی:} \quad B = M_0 H \quad \text{از اینجا:} \\ \text{ماجرت:} \quad M = \mu_0 \mu_r H \quad \text{جریان مسی:} \quad B = M_0 \mu_r H \quad \text{جنس مغناطیسی:} \quad M = M_0 \mu_r H$$

مثال ۱-۶ یک ماده مغناطیسی با ضریب حساسیت ثابت  $\chi_m$  ناحیه‌ای از قضاکه بین دو صفحه موازی  $z=d$  و  $z=0$  قرار دارد، مطابق شکل ۷-۶، را پر می‌کند. میدان مغناطیسی یکنواخت  $B_a = B \hat{a}_x$  به ماده مغناطیسی اعمال می‌گردد. چگالی شار مغناطیسی  $B$  و شدت میدان مغناطیسی  $H$  را در درون و بیرون جسم و همچنین چگالیهای جریانهای آمپری پدید آمده در درون و روی سطوح آن را محاسبه کنید.

حل :

به دلیل یکنواخت بودن میدان اعمال شده  $B_a$  و نیز ثابت بودن ضریب حساسیت مغناطیسی  $\chi_m$ ، جسم به طور یکنواخت مغناطیسی می‌شود. پس می‌توان نوشت :

$$J_{ms} = M \times \hat{a}_n = M \cdot \hat{a}_x \quad (18-6)$$

جریانهای آمپری ناشی از گشتاور مغناطیسی حاصل، با استفاده از روابط ۶-۹ و ۶-۱۰ عبارتند از:

$$B_s = B_s + B_a \quad J_{ms} = M \times \hat{a}_n = \begin{cases} M \cdot \hat{a}_x \times \hat{a}_z = -M \cdot \hat{a}_y & z=d \\ M \cdot \hat{a}_x \times (-\hat{a}_z) = M \cdot \hat{a}_y & z=0 \end{cases} \quad (19-6)$$

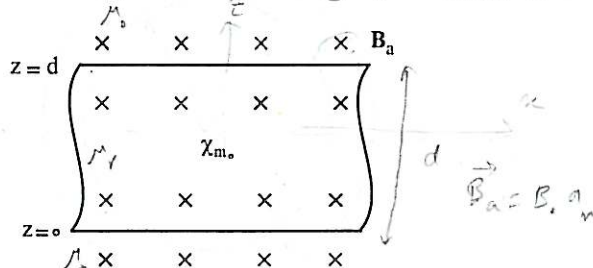
و :

$$J_m = \nabla \times M = 0 \quad (20-6)$$

بدین ترتیب ماده مغناطیسی را می‌توان با دو صفحه بینهایت جریان با چگالیهای داده شده در رابطه ۶-۱۹ جایگزین نمود. میدانی که این دو صفحه موازی جریان ایجاد می‌کنند همان میدان ثانویه است. قبل از میدان مغناطیسی ناشی از یک صفحه بینهایت جریان را مطالعه نموده‌ایم و نتیجه در رابطه ۵-۲۴ مخالصه شده است. با استفاده از این رابطه می‌توان به سادگی نشان داد که میدان حاصل از دو صفحه جریان مذکور برابر است با :

$$B_s = \begin{cases} \mu \cdot M \cdot \hat{a}_x & 0 < z < d \\ 0 & \text{جاها دیگر} \end{cases} \quad (21-6)$$

میدان مغناطیسی کل برابر حاصل جمع میدانهای اولیه و ثانویه است، یعنی :



شکل ۶-۷: ماده مغناطیسی در فضای محصور بین صفحات  $z=0$  و  $z=d$  و میدان مغناطیسی یکنواخت اعمال شده بر آن

$$B = B_a + B_s = \begin{cases} B_0 \hat{a}_x + \mu_0 M_0 \hat{a}_x & 0 < z < d \\ B_0 \hat{a}_x & \text{جاهای دیگر} \end{cases} \quad (22-6)$$

اما از طرف دیگر با استفاده از رابطه ۱۶-۶ می‌توان نوشت:

$$M = M_0 \hat{a}_x = \frac{\chi_m}{1 + \chi_m} \frac{B_0}{\mu_0} = \frac{\chi_m}{1 + \chi_m} \frac{B_0 + \mu_0 M_0}{\mu_0} \hat{a}_x \quad (23-6)$$

پس از حل این معادله برای  $M$  داریم:

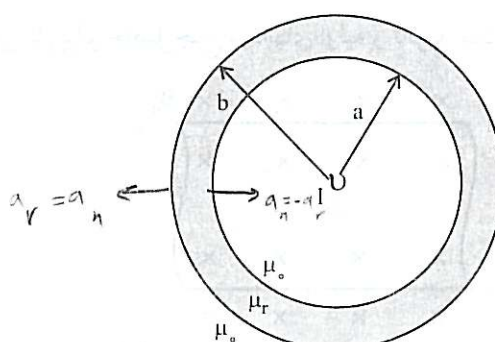
$$M_0 = \frac{\chi_m}{\mu_0} B_0 \quad (24-6)$$

اکنون با استفاده از رابطه ۲۴-۶ در رابطه ۲۳-۶، میدانهای  $B$  و  $H$  را می‌توان محاسبه و به شرح زیر خلاصه نمود:

$$B = \begin{cases} B_0 (1 + \chi_m) \hat{a}_x & 0 < z < d \\ B_0 \hat{a}_x & \text{جاهای دیگر} \end{cases} \quad (25-6)$$

$$H = \begin{cases} \frac{B_0}{\mu_0 \mu_r} = \frac{B_0 (1 + \chi_m)}{\mu_0 (1 + \chi_m)} \hat{a}_x = \frac{B_0}{\mu_0} \hat{a}_x & 0 < z < d \\ \frac{B_0}{\mu_0} = \frac{B_0}{\mu_0} \hat{a}_x & \text{جاهای دیگر} \end{cases} \quad (26-6)$$

مثال ۶-۲: ناحیه  $b < r < a$  در مختصات استوانهای با یک ماده مغناطیسی که قابلیت نفوذ نسبی آن  $\mu_r$  می‌باشد اشغال شده است. یک رشته سیم حامل جریان  $I$ ، مطابق شکل ۸-۶، در امتداد محور  $Z$  قرار داده می‌شود. میدانهای  $B$  و  $H$  را در تمام نقاط فضا و چگالیهای جریانهای مغناطیسی را در درون و روی سطوح ماده مغناطیسی محاسبه کنید.



شکل ۸-۶: جریان  $I$  در امتداد محور یک لایه استوانهای شکل از ماده مغناطیسی با قابلیت نفوذ نسبی  $\mu_r$

حل:

به دلیل وجود تقارن استوانه‌ای نسبت به محور  $z$  و بینهایت بودن طول لایه استوانه‌ای شکل، میدان مغناطیسی مستقل از  $\varphi$  و  $z$  بوده و فقط دارای مؤلفه  $\hat{a}_\varphi$  می‌باشد، یعنی  $H = H_\varphi \hat{a}_\varphi$  است. حال با استفاده از شکل انتگرالی قانون آمپر بر حسب  $H$  می‌توان نوشت:

$$\oint_C H \cdot dL = I$$

که  $C$  محیط دایره‌ای به شعاع دلخواه  $r$  است که مرکز آن بر سیم جریان منطبق می‌باشد. به دلیل ثابت بودن  $H$  روی مسیر  $C$  و اینکه جریان دربرگرفته شده توسط  $C$  مستقل از شعاع  $r$  و همیشه برابر  $I$  است، داریم:

$$\oint_C H \cdot dL = H_\varphi (2\pi r) = I$$

مسیر  $C$  مرد جریان است راز  
حالت راست است بر سیم آمپر

$$H = H_\varphi \hat{a}_\varphi = \frac{I}{2\pi r} \hat{a}_\varphi \quad r < \infty \quad (27-6)$$

اکنون بردار  $B$  را می‌توان به سادگی از رابطه  $B = \mu_r \mu_0 H$  در هر ناحیه محاسبه کرد:

$$B = \begin{cases} \frac{\mu_r \mu_0 I}{2\pi r} \hat{a}_\varphi & a < r < b \\ \frac{\mu_0 I}{2\pi r} \hat{a}_\varphi & r > a, r > b \end{cases} \quad (28-6)$$

با در دست داشتن  $B$  و  $H$ ، چگالی گشتاور دوقطبی مغناطیسی  $M$  در ناحیه  $a < r < b$  برابر است با:

$$M = \frac{B}{\mu_0} - H = \left( \frac{\mu_r \mu_0 I}{2\pi r \mu_0} - \frac{I}{2\pi r} \right) \hat{a}_\varphi = \frac{(\mu_r - 1)I}{2\pi r} \hat{a}_\varphi \quad (29-6)$$

با داشتن  $M$ ، چگالیهای جریانهای مغناطیسی قابل محاسبه می‌باشند. برای جریان سطحی داریم:

$$J_{ms} = M \times \hat{a}_n = \begin{cases} \frac{(\mu_r - 1)I}{2\pi a} \hat{a}_\varphi \times (-\hat{a}_r) = \frac{(\mu_r - 1)I}{2\pi a} \hat{a}_z & r = a \\ \frac{(\mu_r - 1)I}{2\pi b} \hat{a}_\varphi \times (\hat{a}_r) = -\frac{(\mu_r - 1)I}{2\pi b} \hat{a}_z & r = b \end{cases} \quad (30-6\text{-الف})$$

و بالاخره چگالی جریان مغناطیسی حجمی برابر است با:

$$J_m = \nabla \times M = -\frac{\partial M_\varphi}{\partial z} \hat{a}_r + \frac{1}{r} \frac{\partial}{\partial r} (r M_\varphi) \hat{a}_z = 0 \quad (30-6\text{-ب})$$

در مثال ۲-۶، در صورتی که  $a \rightarrow 0$  و  $b \rightarrow \infty$ ، تمام فضا را ماده مغناطیسی پر می‌کند و جریان مغناطیسی سطحی روی  $r = a$  به یک جریان خطی به مقدار  $(1/\mu_r - 1)I = I_m$  تبدیل می‌شود، به طوری که اگر بخواهیم قانون مداری آمپر را بر حسب میدان  $B$  بنویسیم باید مجموع جریانهای  $I$  و  $I_m$ ، یعنی  $I_m + I = \mu_r I$ ، را در رابطه ۳۲-۵ به کار ببریم.

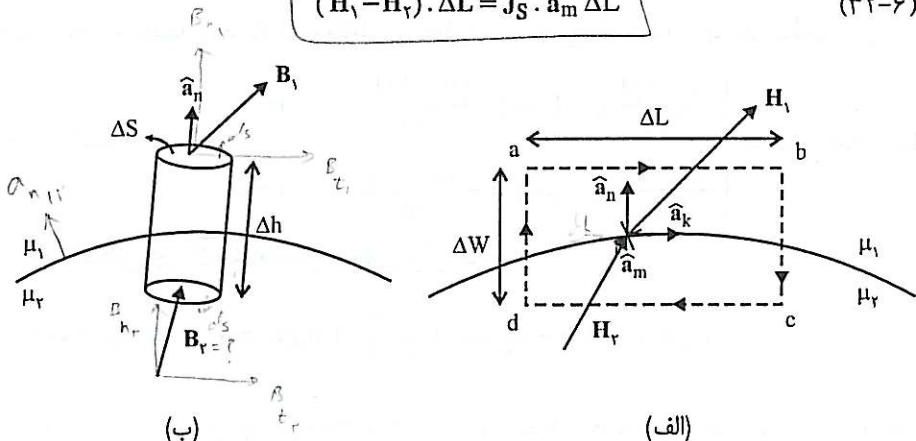
## ۳-۶ شرایط مرزی

برای بررسی رفتار میدان مغناطیسی در مرز مشترک دو ناحیه با قابلیتهای نفوذ متفاوت از روشی مشابه آنچه که در مورد میدان الکتریکی در قسمتهای ۳-۶ و ۹-۳ به کار رفت استفاده می‌کنیم. برای تعیین رابطه بین مؤلفه‌های مماسی میدانهای مغناطیسی در مرز مشترک دو ناحیه با قابلیتهای نفوذ  $\mu_1$  و  $\mu_2$ ، مسیر بسته مستطیلی شکل abcda را با ابعاد  $\Delta L$  و  $\Delta W$ ، مطابق شکل ۹-۶-الف در نظر گرفته، شکل انتگرالی قانون آمپر را به کار می‌بریم:

$$\oint_{\text{abcd}} H \cdot dL = I = \int_{\text{سطح}} J \cdot dS \quad (31-6)$$

اکنون حد هر یک از دو طرف رابطه ۳۱-۶ را، وقتی که  $\Delta W$  به سمت صفر میل کند، به دست می‌آوریم. برای این منظور، ابتدا انتگرال سمت چپ رابطه ۳۱-۶ را به چهار انتگرال روی اصلاح مستطیل abcd تجزیه می‌کنیم. واضح است که مقدار این انتگرال روی اصلاح da و bc، وقتی که  $\Delta W \rightarrow 0$ ،  $\Delta W$ ، بسیار کوچک شده و در حد به سمت صفر میل می‌کند و در نتیجه سمت چپ رابطه ۳۱-۶ به  $(H_1 - H_2) \cdot \Delta L$  (ساده می‌شود که  $\Delta L$  برداری در جهت a به b است. حال ببینیم که حد سمت راست رابطه مذکور، وقتی که  $\Delta W \rightarrow 0$ ، چیست؟ تردیدی نیست که وقتی  $\Delta W \rightarrow 0$ ، سطح مستطیل abcd نیز به سمت صفر میل کرده و چنانچه در اطراف مرز مشترک دو ناحیه فقط یک جریان حجمی وجود داشته باشد، مقدار انتگرال سمت راست رابطه ۳۱-۶ و به عبارت دیگر جریان در برگرفته شده توسط مسیر abcda، صفر خواهد شد. اما در صورتی که جریانی سطحی با چگالی  $J_S$  در مرز مشترک دو ناحیه موجود باشد، این انتگرال مقداری غیرصفر و برابر با  $(J_S \cdot \hat{a}_m) \Delta L$  خواهد داشت که  $\hat{a}_m$  بردار واحد عمود بر سطح مستطیل abcd است. بدین ترتیب، رابطه ۳۱-۶ به صورت زیر خلاصه می‌گردد:

$$(H_1 - H_2) \cdot \Delta L = J_S \cdot \hat{a}_m \Delta L \quad (32-6)$$



شکل ۹-۶: میدان مغناطیسی در مرز دو ناحیه (الف) برای تعیین رابطه بین مؤلفه‌های مماسی میدانها (ب) برای تعیین رابطه بین مؤلفه‌های عمودی میدانها

$$\begin{array}{c}
 M_{r_1} = 4 \quad \vec{a}_{n_1} = \vec{a}_z \quad H_1 = \vec{a}_n + \vec{r}_{a_1} + \vec{r}_{a_2} \\
 \hline
 M_{r_2=283} \quad \rightarrow \quad \rightarrow \quad \rightarrow \quad H_2 = \vec{a}_n + \vec{r}_{a_2} \\
 \vec{B} = \vec{B}_{tr} + \vec{B}_n
 \end{array}$$

#### فصل ۶: میدان مغناطیسی ساکن در اجسام و ارزی مغناطیسی

در اینجا برای سادگی محاسبات بعدی، بردار واحد  $\hat{a}_k$  را موازی با  $\Delta L$  و بردار واحد  $\hat{a}_n$  را عمود بر سطح مشترک دو ناحیه، در نقطه‌ای از مرز که میدان مغناطیسی در آن مورد بررسی است و در جهت ناحیه ۲ به ناحیه ۱ تعریف می‌کنیم. شکل ۶-۹-الف این دو بردار را نشان می‌دهد. اکنون با توجه به اینکه  $\vec{H}_1 = (\vec{a}_n + \vec{r}_{a_1}) + (\vec{a}_z)$  است، رابطه ۳۲-۶ را به صورت زیر می‌نویسیم:

$$(\vec{a}_m \times \vec{a}_n) \cdot (H_1 - H_2) \Delta L = J_S \cdot \vec{a}_m \Delta L \quad (33-6)$$

پس از حذف  $\Delta L$  از طرفین رابطه ۳۳-۶ و تغییر ترتیب ضربهای داخلی و خارجی در عبارت سمت چپ بر

$$\vec{B}_{n_1} = M H_{n_1} = F_m (\vec{a}_z) \quad \text{اساس اتحاد } A \cdot (A \times B) = (B \times A) \cdot A, \text{ داریم:}$$

$$\Rightarrow \vec{B}_{n_2} = \vec{B}_{n_1} = 12M \cdot \vec{a}_z \quad [\vec{a}_n \times (H_1 - H_2)] \cdot \vec{a}_m = J_S \cdot \vec{a}_m$$

یا:

$$\vec{a}_n \times (H_1 - H_2) = J_S \quad (34-6)$$

رابطه ۳۴-۶ یکی از شرایط مرزی مورد نظر می‌باشد. باید توجه داشت که این رابطه به صورت برداری

است. در صورتی که  $J_S$  در امتداد عمود بر مؤلفه‌های مماسی  $H_1$  و  $H_2$  باشد، شرط مرزی ۳۴-۶ شکل

$$= -\vec{r}_{a_1} - \vec{a}_z \rightarrow \vec{B}_r = \vec{a}_n H_2 = 2M \cdot (-\vec{a}_n - \vec{a}_z) \quad \text{نردهای زیر را پیدا می‌کند:}$$

$$\Rightarrow \vec{B}_r = M \cdot [(-4a_n - 2a_z) + 12a_z] \quad \nexists \quad H_{t_1} - H_{t_2} = J_S \quad \nexists \quad (35-6)$$

که  $H_1$  و  $H_2$  به ترتیب مؤلفه‌های مماسی  $H_1$  و  $H_2$  می‌باشند. روابط ۳۴-۶ و ۳۵-۶ بیان می‌دارند که در هر نقطه در مرز مشترک دو ناحیه، مؤلفه مماسی شدت میدان مغناطیسی به اندازه چگالی جریان سطحی در آن نقطه ناپیوسته است. یادآوری می‌شود که  $J_S$  چگالی جریان آزاد است و در صورتی که مقدار آن صفر باشد، مؤلفه مماسی شدت میدان مغناطیسی در مرز دو ناحیه همواره پیوسته است.

برای تعیین رابطه بین مؤلفه‌های عمودی میدانها در مرز دو ناحیه، یک سطح استوانه‌ای شکل به ارتفاع

$\Delta h$  و مساحت قاعده  $\Delta S$ ، مطابق شکل ۶-۹-ب، در نظر گرفته و رابطه ۸۱-۵ را به کار می‌بریم:

$$\oint_S \vec{B} \cdot d\vec{S} = 0, \quad \text{سطح کل استوانه } S =$$

حد انگ्रال مزبور، وقتی که  $\Delta h \rightarrow 0$ ، عبارت است از:

$$B_2 \cdot \Delta S - B_1 \cdot \Delta S = 0$$

یا:

$$\vec{a}_n \cdot (B_2 - B_1) \Delta S = 0$$

و سرانجام:

$$(36-6)$$

رابطه ۳۶-۶ یکی دیگر از شرایط مرزی برای میدان مغناطیسی است که شکل نردهای آن به صورت زیر نوشته می‌شود:

فُ سوال: اگر  $A \cdot B = C$  باشد، لزوماً  $A$  مساوی  $C$  نخواهد بود. چرا شرط مرزی مندرج در رابطه ۳۴-۶ که از رابطه قبلی اش نتیجه‌گیری شده است همواره صحیح است؟

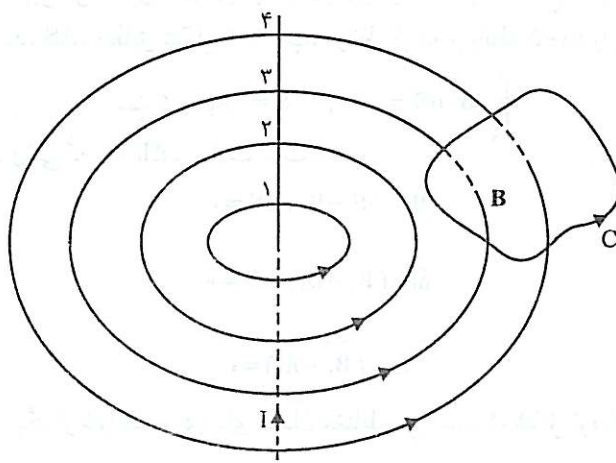
$$\star \quad B_{n_2} - B_{n_1} = 0 \quad (37-6)$$

که  $B_{n_2}$  و  $B_{n_1}$  به ترتیب مؤلفه های عمودی میدانهای مغناطیسی  $B_1$  و  $B_2$  می باشند. رابطه ۳۷-۶ بیان می کند که در هر نقطه در موز مشترک دو ناحیه، مؤلفه عمودی چگالی شار مغناطیسی همواره پیوسته است.

#### ۴-۶ ضرایب خودالقایی و القای متقابل

قبل از پرداختن به تعاریف و محاسبات مربوط به ضرایب خودالقایی و القای متقابل (اندوکتانس و اندوکتانس متقابل)، گفتاری پیرامون شار مغناطیسی گذرنده از یک مدار جریان و مفهوم پیوند شار مغناطیسی با مدار ضروری به نظر می رسد. همان طور که در قسمت ۵-۷ شرح داده شد، خطوط میدان مغناطیسی همیشه به صورت منحنی های بسته می باشند. بنابراین اگر مدار جریانی در معرض یک میدان مغناطیسی قرار گیرد، دسته ای از خطوط میدان از مدار می گذرند، بدین معنا که هر یک از این خطوط و مدار بسته جریان همانند دو حلقه زنجیر به یکدیگر مرتبط می شوند. در اینجا اصطلاحاً گفته می شود که این دسته خطوط میدان با مدار جریان پیوند دارند. اما دسته دیگری از خطوط میدان از مدار جریان عبور نکرده و به صورت حلقه هایی جدا از مدار بسته می باشند و به عبارت دیگر با مدار پیوند ندارند. شکل ۱۰-۶ تصویر روشن تری از مفهوم پیوند خطوط میدان با یک مدار را نشان می دهد. در این شکل خطوط میدان متعلق به یک سیم طویل جریان می باشند. به طوری که ملاحظه می شود، خطوط میدان ۳ و ۴ با مدار C دارای پیوند بوده در حالی که خطوط ۱ و ۲ پیوندی با آن ندارند. میزان پیوند میدان مغناطیسی B با مدار جریان C را ممکن است با مقدار شار گذرنده از آن بیان داشت. با توجه به اینکه B چگالی شار مغناطیسی محسوب می شود، مقدار شار گذرنده از مدار C عبارت است از:

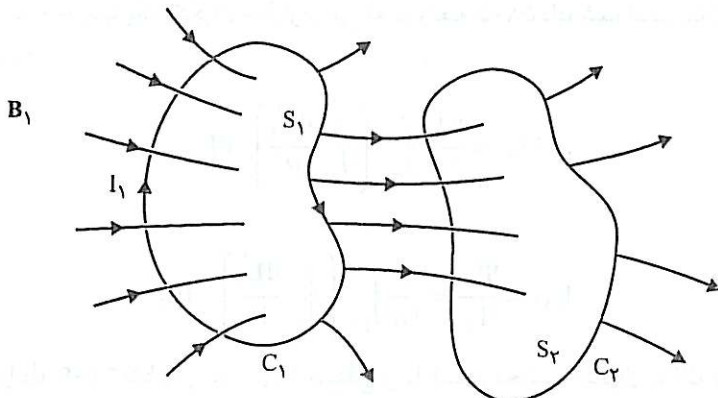
$$\phi = \int_S B \cdot dS \quad (38-6)$$



شکل ۱۰-۶: نمایش پیوند خطوط میدان مغناطیسی B با مدار C

که  $S$  سطح دلخواهی است که به مدار بسته  $C$  محدود گردد. بدینه است که هر جریانی با تمامی میدان مغناطیسی ناشی از خودش پیوند دارد. محاسبه شار گذرنده از مداری که همانند مدار  $C$  در شکل ۱۰-۶ دارای یک حلقه باشد را همواره می‌توان بدون ابهام انجام داد. اما در بسیاری از موارد عملی تعداد حلقه‌های یک مدار بیش از یک است و بنابراین در تعیین شار گذرنده از چنین مدارهایی باید دقت کافی داشت. در واقع آنچه در این گونه مدارها در خور توجه است که خطوط میدان از آن می‌گذرند. برای روشن شدن مطلب مداری به شکل یک سیم پیچ با  $N$  حلقه یکسان را در نظر گرفته و فرض می‌کنیم که خطوط میدان  $B$  به یک میزان از تمام حلقه‌ها بگذرند. با گذشتن خطوط میدان از یک حلقه تنها شار  $\oint \phi dS = B \cdot \Psi$  ایجاد می‌شود، اما چون همان خطوط میدان از  $N - 1$  حلقه دیگر نیز می‌گذرند در هر یک از آنها شاری به اندازه  $\phi$  ایجاد می‌شود. بنابراین، مقدار کل شار گذرنده از سیم پیچ برابر  $N\phi = \Psi$  است. به عبارت دیگر می‌توان بیان داشت که خطوط میدان از سطحی معادل  $N$  برابر سطح یک حلقه، که در حقیقت همان سطح سیم پیچ است، می‌گذرند و شاری به اندازه  $N$  برابر شار یک حلقه را به وجود می‌آورند. در حالت کلی که حلقه‌های سیم پیچ ممکن است یکسان نباشند و یا خطوط میدان به یک میزان از آنها نگذرنند، شار حلقه‌ها با یکدیگر مساوی نیستند و شار کل را باید از مجموع شارهای حلقه‌ها به دست آورد، یعنی  $\sum_{i=1}^N \phi_i = \Psi$  که شار گذرنده از حلقه‌نام است. پس به طور خلاصه در مداری با  $N$  حلقه، شار  $\phi$  عموماً با  $N$  حلقه پیوند دارد و  $N$  بار جریان مدار را در بر می‌گیرد. کمیت  $\Psi$ ، که معرف میزان پیوند یک میدان مغناطیسی با یک مدار جریان است، را پیوند شار<sup>۱</sup> می‌نامند و با واحد ویر-دور اندازه گیری می‌کنند.

اکنون پس از توضیحات فوق به اصل مطلب که مطالعه ضرایب خودالقایی و القای متقابل است برمی‌گردیم. برای این منظور دو مدار تک-حلقه‌ای  $C_1$  و  $C_2$  را مطابق شکل ۱۱-۶ در نظر گرفته و فرض می‌کنیم که مدار  $C_1$  حامل جریان  $I_1$  باشد. یادآوری می‌شود که تک-حلقه‌ای در نظر گرفتن مدارهای  $C_1$



شکل ۱۱-۶: پیوند میدان مغناطیسی  $I_1$  حاصل از جریان  $I_1$  با مدارهای  $C_1$  و  $C_2$

خود ات

الآنستابل

ضرایب خودالقایی و القای متقابل

$$L_{11} = \frac{1}{I_1} \int_{S_1} B_1 \cdot dS$$

همداره بست

مس ترازند هفت بیست و سه

۴-۶۳۱ = L<sub>21</sub> =  $\frac{1}{\pi} \int_{S_2} R \cdot dS$ 

ضایاب خودالقایی و القای متقابل

و  $C_2$  فقط برای سادگی کار بوده و لطمehای به عمومیت مسئله وارد نمی‌سازد. جریان  $I_1$  تولید میدان مغناطیسی  $B$  را می‌نماید که کاملاً با مدار  $C_1$  و بخشی از آن با مدار  $C_2$  پیوند پیدا می‌کند. اگر شارکل گذرنده از مدار  $C_1$  و ناشی از جریان  $I_1$  را با  $\Psi_{11}$  و شارکل گذرنده از مدار  $C_2$  و ناشی از جریان مدار  $C_1$  را با  $\Psi_{21}$  نشان دهیم، ضایاب خودالقایی و القای متقابل به ترتیب به صورت زیر تعریف می‌شوند:

$$L_{11} = \frac{\Psi_{11}}{I_1} = \frac{I_1}{C_1} \text{ شارکل گذرنده از مدار } C_1 \text{ و ناشی از جریان } I_1 \quad (39-6)$$

$$M_{12} = M_{21} = \frac{\Psi_{21}}{I_1} = \frac{I_1}{C_1} \text{ شارکل گذرنده از مدار } C_2 \text{ و ناشی از جریان } I_1 \quad (40-6)$$

که  $L_{11}$  ضایاب خودالقایی مدار  $C_1$  و  $M_{12}$  ضایاب القای متقابل بین دو مدار  $C_1$  و  $C_2$  می‌باشد. ضایاب خودالقایی و القای متقابل همانند ظرفیت و مقاومت فقط به شکل و ابعاد هندسی مدارها و پارامترهای محیط (در اینجا قابلیت نفوذ) بستگی داشته و مستقل از جریانهای مدارها هستند. واحد اندازه گیری این ضایاب هائزی نام دارد. یک هائزی مساوی یک وبر بر یک آمپر است. قبل از رابطه ۹۶-۳ نشان داده ایم که انرژی الکتریکی ذخیره شده در یک خازن متناسب با ظرفیت آن است و به طوری که بعد اندازه گیری دید انرژی مغناطیسی ذخیره شده در یک خودالقا (سلف) نیز متناسب با ضایاب  $L$  می‌باشد. بنابراین اگر  $C$  ظرفیت الکتریکی تلقی شود  $L$  مفهوم ظرفیت مغناطیسی را دربرخواهد داشت. برای کسب شناخت بیشتر نسبت به این دو کمیت جدید به محاسبه آنها می‌پردازیم.

$$\Psi_{11} = \int_{S_1} B_1 \cdot dS = \int_{S_1} (\nabla \times A_1) \cdot dS = \oint_{C_1} A_1 \cdot dL_1 \quad (41-6)$$

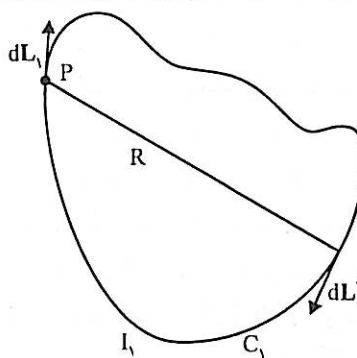
در رابطه ۴۱-۶ تبدیل انتگرال سطح به انتگرال خط با استفاده از قضیه استوکس صورت گرفته است. پتانسیل برداری  $A_1$  به نوبه خود با یک انتگرال خط از نوعی که در رابطه ۵۸-۵ داده شده است بیان می‌گردد. پس می‌توان نوشت:

$$\Psi_{11} = \frac{\mu I_1}{4\pi} \oint_{C_1} \left( \oint_{C_1} \frac{dL'_1}{R} \right) \cdot dL_1$$

آنگاه:

$$L_{11} = \frac{\Psi_{11}}{I_1} = \frac{\mu}{4\pi} \oint_{C_1} \left( \oint_{C_1} \frac{dL'_1}{R} \right) \cdot dL_1 \quad (42-6)$$

همان طور که رابطه ۴۲-۶ نشان می‌دهد، محاسبه انتگرال دوگانه در رابطه مزبور بدین صورت انجام می‌پذیرد که ابتدا نقطه دلخواه  $P$  را روی مدار  $C_1$ ، که دوباره در شکل ۱۲-۶ نشان داده شده است، در نظر گرفته و انتگرال  $dL'_1 / R$  را در م محل نقطه  $P$  است ضرب داخلی نموده است، را محاسبه می‌کنیم. سپس مقدار انتگرال مزبور را در  $dL_1$  که در محل نقطه  $P$  است ضرب داخلی نموده و آنگاه از کمیت نزدیکی حاصل، روی مسیر  $C_1$  انتگرال می‌گیریم تا نتیجه نهایی به دست آید. در

شکل ۱۲-۶: مدار تک حلقه‌ای  $C_1$  حامل جریان  $I_1$  و نحوه محاسبه انتگرال دوگانه در رابطه ۴۲-۶

اینجا ذکر یک نکته مهم ضروری است. اگر سطح مقطع سیم مدار جریان بینهایت کوچک باشد، در محاسبه انتگرال  $\oint_{C_1} dL'_1 / R$ ، وقتی که  $dL'_1$  در محل نقطه  $P$  قرار می‌گیرد،  $R$  صفر شده و مقدار این انتگرال و در نتیجه ضریب خودالقایی بینهایت می‌شود. البته در عمل چون جریان مدار از سطح مقطع غیرصفر و محدودی می‌گذرد، ضریب خودالقایی مدار همواره مقدار محدودی دارد.

برای محاسبه ضریب القای متقابل بین مدارهای  $C_1$  و  $C_2$ ، در شکل ۱۱-۶، می‌توان نوشت:

$$\begin{aligned}\Psi_{21} &= \int_{S_2} B_1 \cdot dS_2 = \int_{S_2} (\nabla \times A_1) \cdot dS_2 = \oint_{C_1} A_1 \cdot dL_2 \\ &= \frac{\mu}{4\pi} \oint_{C_1} \oint_{C_2} \frac{dL_1 \cdot dL_2}{R_{21}}\end{aligned}$$

آنگاه:

$$M_{21} = \frac{\Psi_{21}}{I_1} = \frac{\mu}{4\pi} \oint_{C_1} \oint_{C_2} \frac{dL_1 \cdot dL_2}{R_{21}} \quad (43-6)$$

که  $R_{21}$  فاصله عنصر طول  $dL_2$  روی مدار  $C_2$  از عنصر طول  $dL_1$  روی مدار  $C_1$  می‌باشد. به طوری که ملاحظه می‌شود انتگرال دوگانه در رابطه ۴۳-۶ نسبت به اندیشهای ۱ و ۲ متقارن است، بنابراین با تعویض این اندیسها می‌توان نتیجه گرفت که:

$$M_{21} = M_{12} \quad (44-6)$$

می‌دانیم که یک انتگرال خط، بر حسب جهتی که برای مسیر انتگرال‌گیری در نظر گرفته می‌شود، ممکن است مقداری مثبت یا منفی داشته باشد. بنابراین، در رابطه ۴۲-۶ که انتگرال‌گیری دوبار روی یک مسیر انجام می‌گیرد همواره مقدار مثبتی برای ضریب خودالقایی یک مدار به دست می‌آید. اما، در رابطه ۴۳-۶، بر حسب اینکه جهت‌های مدارهای  $C_1$  و  $C_2$  چه وضعیتی نسبت به یکدیگر داشته باشند، ضریب القای متقابل بین دو مدار ممکن است مقداری مثبت یا منفی داشته باشد. یادآوری می‌شود که

جهت یک مدار همان جهت جریان گذرنده از آن است. گرچه انتگرالهای دوگانه در روابط ۴۲-۶ و ۴۳-۶ برای توصیف ویژگیهای ضرایب خودالقایی و القای متقابل بسیار مفید هستند، ولی محاسبه این ضرایب به کمک آنها چندان آسان نخواهد بود. خوشبختانه در بسیاری از مسائل عملی نیازی هم به محاسبه این انتگرالها نیست و اغلب روابط ساده ۳۹-۶ و ۴۰-۶ کفایت می‌کنند.

به طور خلاصه، برای محاسبه ضریب خودالقایی یک مدار، جریان  $I$  (باتوزیع خطی، سطحی یا حجمی بر حسب موقعیت مسئله) را در مسیر بسته مدار در نظر گرفته و میدان مغناطیسی حاصل از آن را محاسبه می‌کنیم. سپس مقدار کل شار گذرنده از سطح مسیر جریان ( $\Psi$ ) را از رابطه  $dS \int \mu_0 I d\psi$  به دست می‌آوریم. باشد توجه شود که  $N$  ممکن است همیشه عدد صحیح نباشد. آنگاه، ضریب خودالقایی مدار از رابطه  $\frac{\Psi}{I} = L$  به دست می‌آید. (مرحله آخر را می‌توان به گونه دیگر نیز انجام داد که ممکن است سادگی بیشتری در محاسبه ضریب خودالقایی فراهم آورد. پس از محاسبه میدان مغناطیسی، انرژی مغناطیسی ذخیره شده در سیستم را با استفاده از رابطه  $L = \frac{1}{2} \mu_0 N^2 H^2 dV$  به دست می‌آوریم. آنگاه،  $L = 2W_m$  خواهد بود. بحث کامل این روش در قسمت ۶-۶ خواهد آمد).

برای محاسبه ضریب القای متقابل بین دو مدار، به یکی از مدارها جریان  $I_1$  را منسوب می‌کنیم و میدان مغناطیسی حاصل از آن مدار را محاسبه می‌نماییم. معمولاً، مداری را برای این منظور در نظر می‌گیریم که محاسبه میدان آن از سادگی بیشتری برخوردار باشد. سپس شار کل گذرنده از مدار دیگر ( $\Psi_{21}$ ) را به دست می‌آوریم. سرانجام نسبت  $\frac{\Psi_{21}}{I_1} = L_1$  ضریب القای متقابل بین دو مدار را تعیین می‌کند.

مثال ۳-۶ ضریب خودالقایی یک سیم‌لوه طویل را به ازای واحد طول تعیین کنید. شعاع سیم‌لوه برابر  $a$  و تعداد دورهای سیم پیچ آن در واحد طول برابر  $n$  فرض می‌شود.

حل:

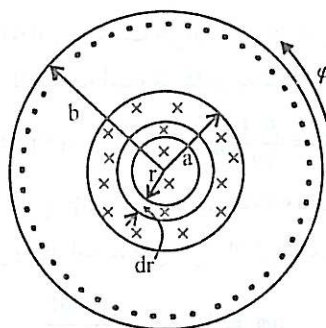
میدان مغناطیسی یک سیم‌لوه طویل را قبلاً در مثال ۵-۶ محاسبه نمودیم. نتیجه که در رابطه ۴۱-۵ خلاصه شده است، نشان می‌دهد که میدان در درون سیم‌لوه، یکنواخت و برابر  $B = \mu_0 n I$  و در خارج آن صفر است. بنابراین شار کل گذرنده از واحد طول سیم‌لوه عبارت است از:

$$\Psi = n\phi = nB \pi a^2 = \mu_0 \pi a^2 n^2 I$$

آنگاه:

$$L = \frac{\Psi}{I} = \mu_0 \pi a^2 n^2 \quad (45-6)$$

مثال ۴-۶ جریان  $I$  با چگالی حجمی یکنواخت  $\rho = \text{const}$ . از یک هادی استوانه‌ای شکل به طول بینهایت و به شعاع  $a$  گذشته و با یک توزیع سطحی یکنواخت از طریق یک سطح استوانه‌ای هادی به شعاع  $b > a$  که هم محور با هادی درونی است برمی‌گردد. این مجموعه که سطح مقطع آن در شکل ۱۳-۶ نشان داده شده است تشکیل یک کابل هم محور را می‌دهد. ضریب خودالقایی این کابل هم محور را به ازای واحد طول محاسبه نمایید.



شکل ۶-۱۳: سطح مقطع یک کابل هم محور و نحوه محاسبه ضریب خودالقایی آن

حل:

با توجه به تقارن استوانه ای مسئله و جهت جریان I، می توان نتیجه گرفت که میدان مغناطیسی فقط مؤلفه ای در جهت  $\hat{a}_\varphi$  دارد که مستقل از  $\varphi$  و  $z$  است. پس با به کار بردن قانون مداری آمپر روی یک مسیر دایره ای شکل به شعاع  $a$ ، میدان در هادی درونی به شرح زیر محاسبه می شود:

$$B_{\varphi_1} (2\pi r) = \mu \pi r^2 J.$$

یا:

$$B_1 = B_{\varphi_1} \hat{a}_\varphi = \frac{1}{2} \mu J \cdot r \hat{a}_\varphi \quad 0 < r < a$$

که  $\mu$  قابلیت نفوذ هادی درونی است. برای محاسبه شارکل گذرنده از واحد طول هادی درونی که با جریان I پیوند داشته باشد، ابتدا مستطیلی به طول واحد در جهت  $z$  و به عرض  $dr$  در جهت  $\varphi$  و به فاصله  $r$  از محور کابل در نظر می گیریم. شارکنده از این سطح مستطیلی شکل عبارت است از:

$$d\phi_1 = B_1 \cdot dS_1 = \frac{1}{2} \mu J \cdot r (1 \times dr) = \frac{1}{2} \mu J \cdot r dr$$

اما شار  $d\phi_1$  فقط کسری از جریان I را دربر می گیرد. اگر این کسر را  $N$  بنامیم، می توان گفت که شار  $d\phi_1$   $N$  بار جریان I را دربر گرفته است و به عبارت دیگر  $d\phi_1 = N d\psi_1$  با میزان  $d\psi_1 = Nd\phi_1$  با تمامی جریان I پیوند دارد. اما مقدار  $N$  عبارت است از:

$$N = \frac{\text{جریان دربر گرفته شده توسط دایره به شعاع } r}{I} = \frac{\pi r^2 J}{I} = \left( \frac{r}{a} \right)^2$$

برای به دست آوردن مقدار کل شاری که از هادی درونی گذشته و با جریان I پیوند داشته باشد از  $d\psi_1$  انتگرال می گیریم:

$$\psi_1 = \int N d\phi_1 = \int_0^a \frac{1}{2} \mu J \cdot r \left( \frac{r}{a} \right)^2 dr = \frac{1}{8} \mu J \cdot a^2 \quad (46-6)$$

حال، شارگذرنده از ناحیه  $a < r < b$  را به دست می‌آوریم. برای این منظور ابتدا میدان مغناطیسی را با استفاده از قانون مداری آمپر در این ناحیه محاسبه می‌کنیم. به سادگی می‌توان نشان داد که:

$$B_2 = \frac{\mu_0 I}{2\pi r} \hat{a}_\varphi \quad a < r < b$$

شارگذرنده از عنصر سطح  $dS_2 = dr$  به ازای همه مقادیر  $a < r < b$  تمامی جریان  $I$  را دربرمی‌گیرد و به عبارت دیگر در این حالت  $N$  برابر واحد است. پس می‌توان نوشت:

$$d\phi_2 = B_2 \cdot dS_2 = \frac{\mu_0 I dr}{2\pi r}$$

و:

$$\Psi_2 = \int N d\phi_2 = \int_a^b \frac{\mu_0 I dr}{2\pi r} = \frac{\mu_0 I}{2\pi} \ln \left( \frac{b}{a} \right)$$

و سرانجام ضریب خودالقایی به ازای واحد طول عبارت است از:

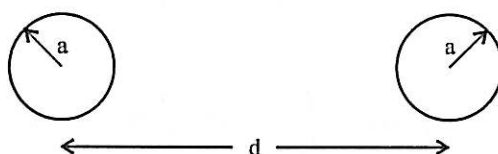
$$L = \frac{\Psi_1 + \Psi_2}{I} = \frac{\mu}{8\pi} + \frac{\mu_0 I}{2\pi} \ln \left( \frac{b}{a} \right) \quad (47-6)$$

ملحوظه می‌شود که  $L$  از دو جزء تشکیل می‌شود. جزء  $\mu/8\pi$  را ضریب خودالقایی درونی هادی درونی می‌نامند. جالب توجه است که ضریب خودالقایی درونی یک هادی مستقل از شعاع آن بوده و همیشه برابر مقدار ثابت  $\mu/8\pi$  است. اگر هادی درونی کابل نیز به صورت یک سطح استوانه‌ای (تولایی) به شعاع  $a$  باشد، ضریب خودالقایی کابل در واحد طول فقط شامل جزء دوم، یعنی برابر با  $\ln(b/a)$  خواهد بود.

مثال ۶-۵ یک نوع خط انتقال که کاربرد فراوانی در سیستمهای مخابراتی دارد از دو سیم موازی طویل تشکیل می‌شود. شکل ۱۴-۶ سطح مقطع این خط انتقال، که در آن شعاع هر یک از سیم‌های هادی برابر  $a$  و فاصله هادیها از یکدیگر برابر  $d$  است، را نشان می‌دهد. ضریب خودالقایی این خط انتقال را به ازای واحد طول تعیین کنید. قابلیتهای نفوذ محیط و هادیها را برابر  $10^{-6} \text{ m}$  فرض کنید.

حل:

برای تعیین ضریب خودالقایی خط انتقال در واحد طول، باید شارکلی که از یک سطح مستطیلی شکل به طول واحد و به عرض فاصله دو هادی می‌گذرد و با جریان  $I$  پیوند دارد را محاسبه کنیم. ابتدا هادی سمت چپ را در نظر می‌گیریم. شارکی که از جریان این هادی ناشی می‌شود و با  $I$  پیوند دارد شامل سه مؤلفه به شرح ذیل می‌باشد:



شکل ۱۴-۶: سطح مقطع خط انتقالی متشکل از دو سیم هادی موازی

- شار ایجاد شده در درون خود هادی که در مثال قبل مقدار آن را برابر  $\Psi_1 = \mu_0 I / 8\pi$  محاسبه نمودیم.  
 - شاری که از ناحیه  $a < r < d-a$  می‌گذرد و مقدار آن برابر است با:

$$\Psi_2 = \phi_2 = \int B \cdot dS = \int_a^{d-a} \left( \frac{\mu_0 I}{2\pi r} \right) (1 dr) = \frac{\mu_0 I}{2\pi} \ln \left( \frac{d-a}{a} \right)$$

- شاری که از ناحیه  $d-a < r < d+a$  می‌گذرد و فقط با کسری از  $I$  پیوند دارد، زیرا خطوط میدان مغناطیسی بخشی از جریان برگشت را دربر می‌گیرند. از این مؤلفه به واسطه  $a > d$  و کمتر بودن پیوند آن با  $I$  در مقایسه با دو مؤلفه دیگر، صرف نظر می‌کنیم.

بدیهی است که برای  $r > d+a$ ، شار متعلق به هادی سمت چپ هیچ‌گونه پیوندی با  $I$  ندارد. پس به طور خلاصه، شار کل ناشی از جریان هادی سمت چپ که از سطح مستطیلی شکل به طول واحد می‌گذرد عبارت است از:

$$\Psi = \Psi_1 + \Psi_2 = \frac{\mu_0 I}{2\pi} \left( \frac{1}{4} + \ln \frac{d-a}{a} \right) \quad (48-6)$$

حال باید شار کل ناشی از جریان هادی سمت راست را که از سطح مستطیلی شکل مذکور می‌گذرد نیز به دست آورد. پس از قدری تعمق می‌توان دریافت که این شار مساوی شار محاسبه شده برای هادی سمت چپ است، به طوری که شار ناشی از هر دو هادی دو برابر مقدار داده شده در رابطه ۴۸-۶ می‌باشد. یعنی:

$$\Psi_{tot} = \frac{\mu_0 I}{\pi} \left( \frac{1}{4} + \ln \frac{d-a}{a} \right)$$

آنگاه:

$$L = \frac{\Psi_{tot}}{I} = \frac{\mu_0}{\pi} \left( \frac{1}{4} + \ln \frac{d-a}{a} \right)$$

اما چون  $a > d$  است،  $d-a \approx d$  بوده و نتیجه به صورت زیر خلاصه می‌شود:

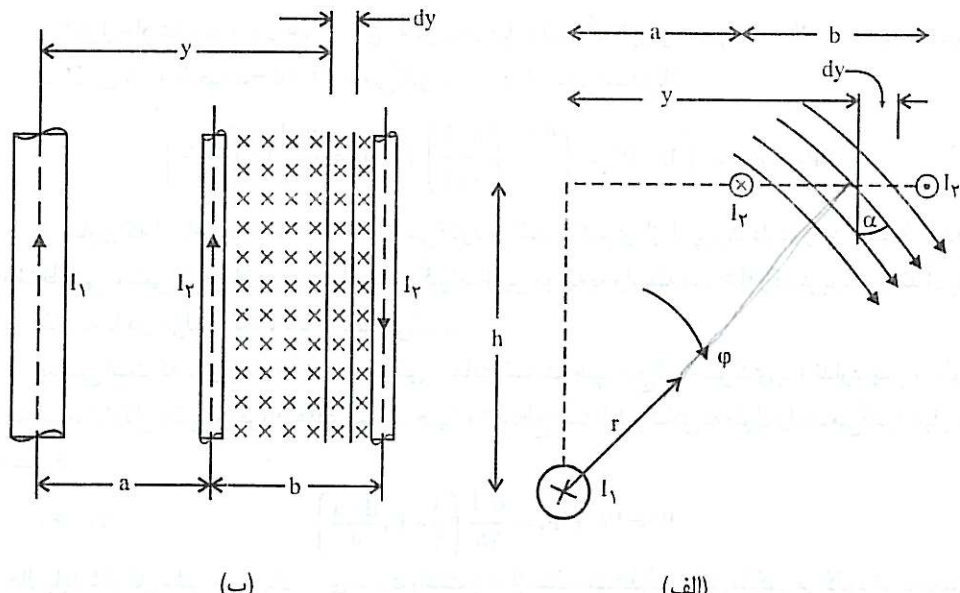
$$L = \frac{\mu_0}{\pi} \left( \frac{1}{4} + \ln \frac{d}{a} \right) \quad (49-6)$$

ملاحظه می‌کنیم که در رابطه ۴۹-۶ اگر  $a \rightarrow 0$ ، ضریب خردالقایی به سمت بینهایت میل خواهد کرد و این همان چیزی است که موقع آن را قبلًاً ضمن بررسی انتگرال دوگانه رابطه ۴۲-۶ پیش‌بینی کرده بودیم.

مثال ۶-۶-۱: یک رشته سیم مستقیم بینهایت طویل و حامل جریان  $I_1$  در پایین، سمت چپ و موازی با یک خط تلفن دوسيمی که جریان  $I_2$  از آن می‌گذرد قرار می‌گیرد. شکل ۱۵-۶ سطح مقطع و تصویر از بالای این مجموعه را نشان می‌دهد. ضریب القای متقابل بین رشته سیم تنها و خط تلفن را به ازای واحد طول محاسبه نمایید. قطر سیمهای تلفن ناچیز فرض می‌شوند.

حل:

با انتخاب یک دستگاه مختصات که محور  $Z$  آن بر سیم حامل جریان  $I_1$  منطبق باشد و به کار بردن قانون مداری آمپر روی یک مسیر دایره‌ای شکل حول این سیم، میدان مغناطیسی ناشی از جریان  $I_1$  عبارت می‌شود از:



(الف)

(ب)

شکل ۱۵-۶: یک خط تلفن دو سیمی و یک رشته سیم موازی با آن و نحوه محاسبه ضریب القای متقابل بین آنها

(الف) سطح مقطع (ب) تصویر از بالا

$$B = \frac{\mu_0 I_1}{2\pi r} \hat{a}_\varphi$$

شار مغناطیسی  $\Psi_{21}$  که از جریان  $I_1$  ناشی شود و از یک سطح مستطیلی شکل واقع بین دو سیم تلفن، به طول واحد و به عرض  $dy$ ، بگذرد عبارت است از:

$$d\Psi_{21} = B \cdot dS = B dy \cos \alpha$$

که  $\alpha$  زاویه بین خطوط میدان و بردار واحد عمود بر سطح مستطیلی شکل  $dS$  است. با مراجعه به شکل ۱۵-۶-الف می‌توان نشان داد که:

$$\cos \alpha = \frac{y}{r} = \frac{y}{\sqrt{y^2 + h^2}}$$

پس:

$$d\Psi_{21} = \frac{\mu_0 I_1}{2\pi} \frac{y dy}{y^2 + h^2}$$

و:

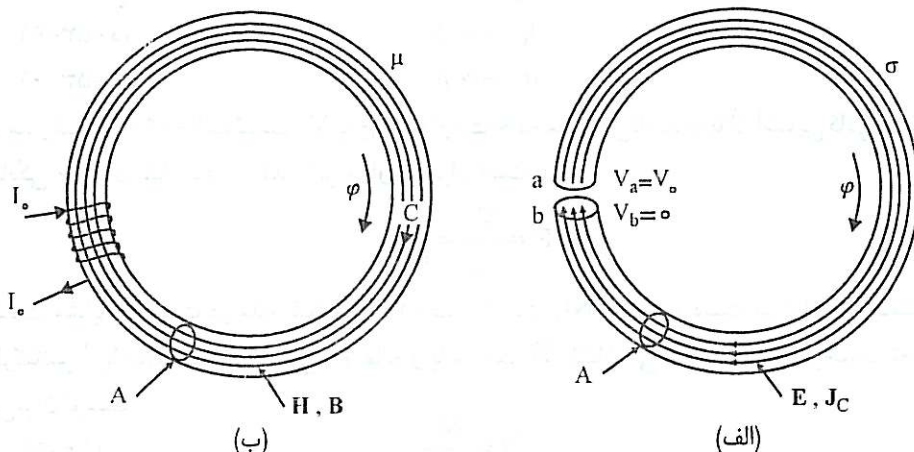
$$\Psi_{21} = \int_a^{a+b} \frac{\mu_0 I_1}{2\pi} \frac{y dy}{y^2 + h^2} = \frac{\mu_0 I_1}{4\pi} \ln \frac{h^2 + (a+b)^2}{h^2 + a^2}$$

و سرانجام ضریب القای متقابل مورد نظر برابر است با:

$$M_{21} = \frac{\Psi_{21}}{I_1} = \frac{\mu_0}{4\pi} \ln \frac{h^2 + (a+b)^2}{h^2 + a^2} \quad (50-6)$$

## ۶-۵ مدارهای مغناطیسی

یکی از مسائل عملی که دارای اهمیت زیادی است، محاسبه شار مغناطیسی ایجاد شده توسط یک یا چند سیم پیچ جریان به دور هسته‌ای آهنی، به شکل یک مدار بسته، می‌باشد. با چنین مسئله‌ای در ترانسفورماتورها، ماشینهای الکتریکی، کلیدهای برقی و بسیاری از ادوات الکتریکی دیگر که بر اساس میدان الکترومغناطیس کار می‌کنند برخورد می‌کنیم. این گونه سیستمها را به دلیل تشابهی که با مدارهای الکتریکی ( مقاومتی ) دارند مدارهای مغناطیسی نامیده و با روش‌هایی کاملاً مشابه روش‌های حل مدارهای الکتریکی مورد بررسی قرار می‌دهند. برای پی بردن به خصوصیات مدارهای مغناطیسی و تعیین وجهه تشابه آنها با مدارهای الکتریکی، ابتدا دو مدار ساده شکل ۱۶-۶ را در نظر می‌گیریم. مدار شکل ۱۶-۶-الف از یک حلقه هادی با رسانایی یکنواخت  $\sigma$ ، محیط متوسط  $A$  و سطح مقطع  $\mu$  تشکیل شده است. اختلاف پتانسیل  $V$  از طریق شکاف بسیار کوچک  $ab$  به حلقه هادی اعمال می‌گردد. این اختلاف پتانسیل، میدان الکتریکی  $E$  را در درون هادی به وجود می‌آورد که از آن جریان هدایتی  $J_C = \sigma E$  ناشی می‌شود. مدار شکل ۱۶-۶-ب نیز از یک حلقه با ابعادی برابر ابعاد حلقه شکل ۱۶-۶-الف و از جنس یک ماده مغناطیسی با قابلیت نفوذ یکنواخت  $\mu$  تشکیل می‌شود. به دور این حلقه، سیم پیچی با  $N$  دور تعبیه شده و از آن جریان  $I$  عبور داده می‌شود. سیم پیچ جریان، میدان مغناطیسی  $H$  را پدید می‌آورد که از آن چگالی شار  $H = B/\mu$  حاصل می‌شود. در مدار الکتریکی شکل ۱۶-۶-الف جریان هدایتی نمی‌تواند به فضای اطراف هادی نشست کند و کاملاً در درون هادی محصور است، ولی در مدار مغناطیسی شکل ۱۶-۶-ب شار مغناطیسی می‌تواند به فضای اطراف هسته نفوذ کند. با این وجود، وقتی که  $I$  باشد، یعنی قابلیت نفوذ هسته بسیار بزرگ‌تر از قابلیت نفوذ فضای اطراف که معمولاً هوا است باشد، شار نشستی در فضای اطراف بسیار ناچیز است. شرعاً مرزی برای مؤلفه مماسی چگالی شار مغناطیسی، که به صورت  $I^2 / \mu$  می‌باشد، نوشته می‌شود، این نکته را بخوبی



شکل ۱۶-۶: تشابه بین مدارهای الکتریکی و مغناطیسی (الف) مدار الکتریکی (ب) مدار مغناطیسی

آشکار می‌سازد. بنابراین برای همه موارد عملی که هسته از جنس ماده فرومغناطیسی بوده و شرط  $\mu > \mu_0$  برقرار است، می‌توان فرض کرد که شار مغناطیسی کاملاً در هسته متمرکز است.

اکنون روابط حاکم بر دو مدار شکل ۱۶-۶ را به طور خلاصه مطرح می‌کنیم. برای مدار الکتریکی شکل

۱۶-۶-الف می‌توان نوشت:

$$\nabla \times \mathbf{E} = \mathbf{0} \quad (51-6\text{-الف})$$

$$V_{..} = \int_a^b \mathbf{E} \cdot d\mathbf{L} \quad (51-6\text{-ب})$$

$$J_C = \sigma E \quad (51-6\text{-ج})$$

$$I_C = \int_A J_C \cdot dS \quad (51-6\text{-د})$$

برای مدار مغناطیسی شکل ۱۶-۶-ب، با توجه به اینکه چگالی جریان هدایتی در درون هسته صفر است، داریم:

$$\nabla \times \mathbf{H} = \mathbf{0} \quad (52-6\text{-الف})$$

$$NI_{..} = \oint_C \mathbf{H} \cdot d\mathbf{L} \quad (52-6\text{-ب})$$

$$\mathbf{B} = \mu \mathbf{H} \quad (52-6\text{-ج})$$

$$\phi = \int_A \mathbf{B} \cdot d\mathbf{S} \quad (52-6\text{-د})$$

مقایسه روابط ۵۱-۶ و ۵۲-۶ وجوده تشابه زیر را بین مدارهای الکتریکی و مغناطیسی آشکار می‌سازد:

$$\left\{ \begin{array}{ll} \mathbf{E} \leftrightarrow \mathbf{H} & (53-6\text{-الف}) \\ V_{..} \leftrightarrow NI_{..} & (53-6\text{-ب}) \\ J_C \leftrightarrow B & (53-6\text{-ج}) \\ I_C \leftrightarrow \phi & (53-6\text{-د}) \\ \sigma \leftrightarrow \mu & (53-6\text{-ه}) \end{array} \right.$$

در مدار شکل ۱۶-۶-الف نسبت  $V_{..}$  به  $I_C$  را مقاومت حلقه هادی می‌نامند که با آن آشنایی کافی داریم. به سادگی می‌توان نشان داد که مقدار این مقاومت برابر است با:

$$R = \frac{V_{..}}{I_C} = \frac{l}{\sigma A}$$

کمیت مشابه مقاومت در مدار شکل ۱۶-۶-ب از نسبت  $NI_{..}$  به  $\phi$  به دست می‌آید. این کمیت را رلوکتانس<sup>۱</sup> یا مقاومت مغناطیسی نام نهاده و با علامت  $\mathcal{R}$  نشان می‌دهند. بنابراین، بر حسب تعریف می‌توان نوشت:

$$\mathcal{R} = \frac{NI_{..}}{\phi} \quad (54-6)$$

با فرض آنکه میدان مغناطیسی در سطح مقطع هسته یکنواخت باشد (میدان مغناطیسی در درون یک سیم پیچ با تعداد دورهای کافی تقریباً یکنواخت است)، رلوکتانس مدار شکل ۱۶-۶-ب به شرح زیر محاسبه می‌شود:

$$\text{NI}_\circ = \oint_C \mathbf{H} \cdot d\mathbf{L} = H_\varphi l$$

$$\phi = \int_A \mathbf{B} \cdot d\mathbf{S} = B_\varphi A = \mu H_\varphi A$$

آنگاه:

$$\mathcal{R} = \frac{\text{NI}_\circ}{\phi} = \frac{l}{\mu A} \quad (55-6)$$

به طوری که از رابطه ۵۵-۶ مشهود است، رلوکتانس نیز همانند مقاومت فقط تابعی از ابعاد هندسی حلقه و البته قابلیت نفوذ آن می‌باشد. بالاخره مشابه رابطه  $E = -\nabla V$  که در آن  $V$  پتانسیل الکتریکی است، می‌توان رابطه  $H = -\nabla V_m$  را تعریف کرد، که در آن  $V_m$  پتانسیل نردهای مغناطیسی نامیده می‌شود و در فصل پنجم نیز به آن اشاره‌ای شد. یادآوری می‌شود تعریف مذکور برای پتانسیل مغناطیسی  $V_m$  فقط وقتی معتبر است که  $\nabla \times \mathbf{H} = 0$  باشد و البته در مدارهای مغناطیسی به دلیل صفر بودن چگالی جریان هدايتی، کرل شدت میدان مغناطیسی همواره صفر است. در این ارتباط اختلاف پتانسیل مغناطیسی بین دو سطح هم پتانسیل عبارت است از:

$$V_{m,ab} = - \int_a^b \mathbf{H} \cdot d\mathbf{L} \quad (56-6)$$

اکنون ببینیم که یک مدار مغناطیسی را، که در حالت کلی ممکن است دارای شاخه‌های متعددی با ابعاد مختلف و سیم‌پیچهای جریان گوناگونی باشد، چگونه می‌توان تجزیه و تحلیل نمود. برای این منظور، ابتدا روش حل مدارهای الکتریکی را یادآوری می‌کنیم. مطالعه مدارهای الکتریکی بر اساس حل همزمان معادلات KCL<sup>۱</sup> و KVL<sup>۲</sup> و روابط ولتاژ - جریان اجزای مدار استوار است. یک معادله KCL در واقع بیان رابطه  $\oint S \cdot d\mathbf{S} = 0$  روی سطح بسته‌ای حول یک گره جریان است و معمولاً به صورت  $\sum_i I_i = 0$  نوشته می‌شود. از آنجاکه  $B$  مشابه  $J$  و  $\oint S \cdot d\mathbf{S} = 0$  است، مشابه قانون KCL می‌توان قانون KFL<sup>۳</sup> را داشت. این قانون بیان می‌دارد که مجموع جبری شارهایی که به یک گره در مدار مغناطیسی وارد می‌شوند برابر صفر است:

$$\sum_i \phi_i = 0 \quad (57-6)$$

همچنین یک رابطه KVL در حقیقت بیان رابطه  $\oint E \cdot dL = -V$  در یک مسیر بسته است که  $V$  به منزله نیروی محرکه الکتریکی خالص موجود در مسیر بسته و  $\oint E \cdot dL$  مجموع افت پتانسیلها روی اجزای مختلف واقع در مسیر می‌باشد. این قانون اغلب به صورت  $\sum_i V_i = 0$  نوشته می‌شود. از آنجاکه  $H$  مشابه  $E$ ،  $V_m$  مشابه  $V$  و  $Ni$  مشابه  $\oint H \cdot dL$  است، مشابه قانون KVL می‌توان قانون  $\text{m}$  (KVL) را برای مدارهای مغناطیسی داشت و آن را به صورت زیر نوشت:

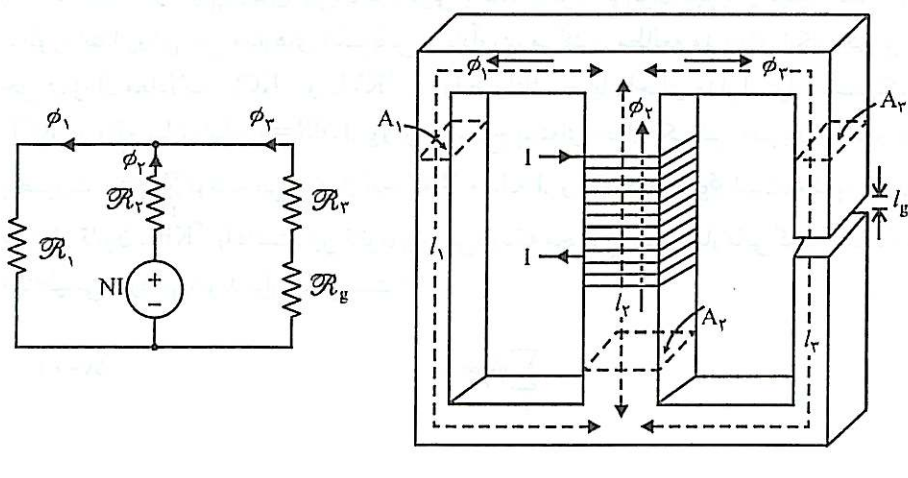
$$\sum_j (Ni)_j = \sum_i V_{mi} = \sum_i H_i I_i \quad (58-6)$$

در رابطه ۵۸-۶،  $(Ni)_j$  مجموع جبری نیروهای محرکه مغناطیسی در مسیر بسته بوده و میدان مغناطیسی در هر شاخه یکنراخت فرض شده است. بالاخره مشابه رابطه  $V=RI$  برای یک مقاومت، رابطه زیر را برای یک رلوکتانس داریم:

$$V_m = R\phi \quad (59-6)$$

حل یک مدار مغناطیسی با حل هم‌زمان روابط ۵۷-۶، ۵۸-۶ و ۵۹-۶ انجام می‌پذیرد. برای نشان دادن شیوه کار به بررسی چند مثال می‌پردازیم.

مثال ۷-۶ - الف ساختمان یک مدار مغناطیسی را نشان می‌دهد که از سه شاخه با یک شکاف هوا در شاخه سمت راست تشکیل شده است. سیم پیچ تعییه شده به دور شاخه میانی نیروی محرکه‌ای به میزان  $1000 \mu$  آمپر دور را تأمین می‌کند. مدار الکتریکی معادل رارسم نموده و چگالی شار مغناطیسی را در شکاف هوا به دست آورید. قابلیت نفوذ نسبی هسته  $A_1 = A_2 = 8 \text{ cm}^2$  و ابعاد آن عبارت از  $I_1 = I_2 = 10 \text{ cm}$ ،  $A_g = 10 \text{ cm}^2$  است.



شکل ۷-۶: یک مدار مغناطیسی برای مثال ۷-۶ (الف) مدار مغناطیسی (ب) مدار الکتریکی معادل



### فصل ۶: میدان مغناطیسی ساکن در اجسام و انرژی مغناطیسی

$$\frac{L_{22}}{I_2} \times \frac{\Psi_{22}}{I_2} = \frac{N_2 \cdot \Phi_2}{I_2}$$

$$297 \quad L_{22} = L_{12} \times \frac{\Psi_{12}}{I_2} = N_1 \Phi_1$$

حل: مدار الکتریکی معادل مدار مغناطیسی مورد مطالعه در این مثال در شکل ۶-۱۷-ب نشان داده شده است. برای حل این مدار ابتدا رلوکتانس‌های شاخه‌های مدار را محاسبه می‌کنیم.

$$\mathcal{R}_1 = \mathcal{R}_r = \frac{I_1}{\mu A_1} = \frac{20 \times 10^{-2}}{(4\pi \times 10^{-7} \times 1000)(10 \times 10^{-4})} = 19,89 \times 10^4$$

$$\mathcal{R}_r = \frac{I_2}{\mu A_2} = \frac{10 \times 10^{-2}}{(4\pi \times 10^{-7} \times 1000)(10 \times 10^{-4})} = 7,96 \times 10^4$$

$$\mathcal{R}_g = \frac{I_g}{\mu \cdot A_g} = \frac{0 \times 10^{-2}}{(4\pi \times 10^{-7})(10,7 \times 10^{-4})} = 74,37 \times 10^4$$

حال با استفاده از روابط ۵۷-۶ تا ۵۹-۶، روابط KFL و  $\text{m}_{\text{m}}$  (KVL) را به شرح زیر می‌نویسیم:

$$\begin{cases} \phi_2 - \phi_1 - \phi_3 = 0 \\ 1000 - \mathcal{R}_r \phi_2 - (\mathcal{R}_r + \mathcal{R}_g) \phi_3 = 0 \\ \mathcal{R}_1 \phi_1 - (\mathcal{R}_r + \mathcal{R}_g) \phi_3 = 0 \end{cases}$$

پس از حل سه معادله فوق برای  $\phi_3$  داریم:

$$\phi_3 = 1000 / \mathcal{R}_r [1 + (\mathcal{R}_r + \mathcal{R}_g) \left( \frac{1}{\mathcal{R}_1} + \frac{1}{\mathcal{R}_r} \right)]$$

$$\phi_3 = 1000 / (7,96 \times 10^4) \left[ 1 + (19,89 + 74,37) \left( \frac{1}{19,89} + \frac{1}{7,96} \right) \right] = 714,6 \times 10^{-6}$$

$$\text{B}_g = \phi_3 / A_g = 714,6 \times 10^{-6} / 10,7 \times 10^{-4} = 0,668 \text{ وبر ب. مترمربع}$$

مثال ۶-۸-اگر در مدار مغناطیسی شکل ۶-۱۷-۶-الف شکاف هوا در شاخه میانی تعییه شود، آمپر دور لازم برای آنکه همان چگالی شار مغناطیسی، یعنی  $0,668$  وبر ب. مترمربع، در شکاف ایجاد شود را بدست آورید.

حل:

مدار الکتریکی معادل در این مثال به صورت شکل ۶-۱۸-۶ خواهد بود. در این مدار رلوکتانس‌های موازی  $\mathcal{R}_1$  و  $\mathcal{R}_3$  را می‌توان با رلوکتانس معادل  $\mathcal{R}_{\text{eq}} = \mathcal{R}_1 // \mathcal{R}_3 = \mathcal{R}_1 / 2$  جایگزین نمود و رابطه  $\text{m}_{\text{m}}$  (KVL) را در مدار معادل حاصل نوشت:

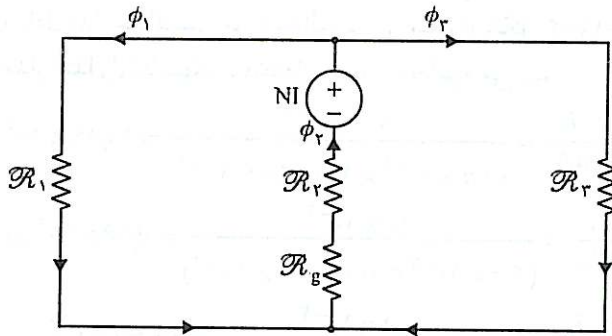
$$NI = \phi_1 (\mathcal{R}_r + \mathcal{R}_g + \mathcal{R}_{\text{eq}})$$

اما:

$$\phi_1 = \text{B}_g A_g = 0,668 \times 10,7 \times 10^{-4} = 714,6 \times 10^{-6}$$

آنگاه:

$$NI = (714,6 \times 10^{-6}) (7,96 + 74,37 + 9,945) (10^4) = 659,4$$



شکل ۶-۶: مدار الکتریکی معادل مدار مغناطیسی شکل ۶-۱۷-الف با شکاف هوای منتقل شده به شاخه میانی

## ۶-۶ انرژی ذخیره شده در میدان مغناطیسی

در مبحث انرژی میدان الکتریکی که در قسمت ۳-۲ مطالعه گردید، ملاحظه نمودیم که برای تشکیل سیستمی از بارهای نقطه‌ای، یعنی جمع آوری بارها از اطراف بینهایت دور، مقدار معینی کار باید توسط یک عامل خارجی انجام شود. این کار را به صورت انرژی ذخیره شده در میدان الکتریکی ناشی از مجموعه بارهای نقطه‌ای تعبیر نمودیم و سپس نتایج به دست آمده را به توزیعهای پیوسته بار الکتریکی تعمیم دادیم. همان‌طور که تشکیل سیستمی از بارهای نقطه‌ای و به طور کلی تشکیل یک توزیع پیوسته بار مستلزم انجام کار است، برای تشکیل سیستمی مرکب از حلقه‌های جریان نیز باید کار انجام شود. در این مورد نیز کار انجام شده را می‌توان به منزله انرژی ذخیره شده در میدان مغناطیسی تعبیر کرد. به بیان دیگر اگر تعدادی حلقه جریان داشته باشیم و بخواهیم جریان هر یک را از صفر تا مقدار معینی افزایش دهیم، برای رسیدن به این منظور باید مقداری انرژی صرف کرد. این انرژی در حقیقت همان انرژی ذخیره شده در میدان مغناطیسی حاصل از این سیستم حلقه‌های جریان می‌باشد.

محاسبه انرژی ذخیره شده در میدان مغناطیسی را ممکن است به روش‌های مختلفی انجام داد. در اینجا ما ابتدا انرژی ذخیره شده در میدان مغناطیسی یک مدار بسته حامل جریان I را به دست می‌آوریم، سپس نتیجه را به  $n$  حلقه جریان و سرانجام به یک توزیع پیوسته جریان تعمیم می‌دهیم. فرض کنید مدار بسته C را داشته باشیم. قبل از آنکه مولد جریانی به این مدار وصل شود، جریان مدار و شارگذرنده از آن هر دو صفر هستند. پس از وصل مولد به مدار، جریان مدار رو به افزایش می‌نهد و شارگذرنده از مدار نیز افزایش می‌یابد تا اینکه پس از گذشت زمان  $t$  جریان و شار به مقدار نهایی خود، که به ترتیب برابر I و  $\Psi$  فرض می‌شوند، می‌رسند. باید دقت شود که در فاصله زمانی  $t$  پس از وصل مولد به مدار، جریان و شار توابعی از زمان می‌باشند و به ناچار باید برخی پدیده‌های ناشی از تغییرات میدانها (یا کمیتهای وابسته به آنها) نسبت به زمان را در نظر داشت. آنچه که در این مبحث مورد نیاز است قانون فاراده می‌باشد. این قانون، که در فصل بعد به طور مسروچ مطالعه خواهد شد، بیان می‌کند که اگر شارگذرنده از

یک مدار در فاصله زمانی بینهاست کوچک  $dt$  به اندازه  $\psi$  تغییر نماید، نیروی محرکه‌ای (ولتاژ) به میزان  $V_i = -\frac{d\psi}{dt}$  در مدار القامی شود. این نیروی محرکه با نیروی محرک مولد جریان که آن را  $V$  نامیم خشی می‌شود. به عبارت دیگر، چون مجموع افت ولتاژها در یک مدار بسته صفر است،  $V_i + V = 0$  بوده و آنگاه می‌توان نوشت:

$$V = -V_i = +\frac{d\psi}{dt} \quad (60-6)$$

اگر جریان لحظه‌ای مدار را در فاصله زمانی  $t$ ،  $i$  بنامیم، توان دریافت شده از مولد جریان برابر  $V_i$  و انرژی دریافت شده از آن در فاصله زمانی  $dt$  برابر است با:

$$dW = V_i dt = i d\psi \quad (61-6)$$

بنابراین، مقدار کل انرژی دریافت شده از مولد برای آنکه جریان  $i$  از صفر به  $I$ ، یا به طور متناظر شار  $\psi$  از صفر به  $\Psi$ ، افزایش یابد برابر است با:

$$W = \int_0^I i d\psi = \int_0^\Psi i d\psi \quad (62-6)$$

اما از طرف دیگر، شارگذرنده از یک مدار و جریان آن در هر لحظه از طریق رابطه  $L_i = \frac{1}{2} \psi^2$ ، که  $L$  ضریب خودالقایی مدار است، به یکدیگر مربوطند. پس با جایگزین نمودن  $\psi = L_i$  با  $d\psi = L_i di$  در رابطه ۶۲-۶ داریم:

$$W = \int_0^I i L_i di = L \int_0^I d\left(\frac{1}{2} i^2\right) = \frac{1}{2} L I^2 = \frac{1}{2} I \Psi \quad (63-6)$$

در رابطه ۶۳-۶،  $W$  مقدار کل انرژی است که ضمن ایجاد شدن جریان  $I$  از مولد، که در واقع یک عامل خارجی محسوب می‌شود، اخذ می‌گردد و در میدان مغناطیسی حاصل از جریان  $I$  ذخیره می‌شود. پس از گذشت زمان  $t$ ، که شار و جریان به مقادیر نهایی خود رسیده و از آن به بعد ثابت باقی می‌مانند، صدور انرژی از مولد جریان به میدان نیز پایان می‌یابد.

حال سیستمی را در نظر می‌گیریم که مرکب از  $n$  حلقه جریان باشد. انرژی مغناطیسی ذخیره شده در سیستم را ممکن است با محاسبه انرژی لازم برای برقرار نمودن تک تک جریانها در مدارهایشان، یعنی انرژی مورد نیاز برای افزایش جریان هر مدار از صفر تا مقادیر نهایی اش، به دست آورد. با دنبال نمودن همان روشی که در مورد یک حلقه جریان به کار رفت و به نتیجه مندرج در رابطه ۶۲-۶ انجامید، می‌توان برای  $n$  حلقه جریان نتیجه زیر را به دست آورد:

$$W = \sum_{j=1}^n \int_{\psi_j}^{I_j} i_j d\psi_j \quad (64-6)$$

که  $I_j$  جریان نهایی حلقه  $j$  است. برای محاسبه  $W$ ، ابتدا  $\psi_j$ ، که شارکل گذرنده از حلقه  $j$  است، را بر حسب جریانهای حلقه‌ها و ضرایب خودالقایی و القای متقابل به شرح زیر می‌نویسیم:

$$\psi_j = L_{jj} i_j + \sum_{k=1}^n M_{jk} i_k \quad k \neq j \quad (65-6)$$

## ۶-۶ انرژی ذخیره شده در میدان مغناطیسی

در رابطه ۶-۵،  $L_{jj}$  ضریب خودالقایی حلقه  $z_j$  و  $M_{jk}$  ضریب القای متقابل بین حلقه‌های  $z_j$  و  $z_k$  می‌باشد. با دیفرانسیل گرفتن از طرفین رابطه ۶-۵، داریم:

$$d\psi_j = L_{jj} di_j + \sum_{k=1}^n M_{jk} di_k$$

علامت  $\Sigma$  در رابطه اخیر معرف حاصل جمعی است که در آن جمله مریوط به  $j=k$  وجود نداشته باشد. با توجه به رابطه ۶-۱، مقدار کار جزی  $dW_j$  عبارت است از:

$$dW_j = i_j d\psi_j = i_j \left( L_{jj} di_j + \sum_{k=1}^n M_{jk} di_k \right)$$

آنگاه:

$$\begin{aligned} dW &= \sum_{j=1}^n dW_j = \sum_{j=1}^n i_j \left( L_{jj} di_j + \sum_{k=1}^n M_{jk} di_k \right) \\ &= \sum_{j=1}^n L_{jj} d\left(\frac{1}{2}i_j^2\right) + \frac{1}{2} \sum_{j=1}^n \sum_{k=1}^n M_{jk} d(i_j i_k) \end{aligned} \quad (66-6)$$

ضریب  $1/2$  در جلوی جمع دوگانه به دلیل دوبار ظاهر شدن  $M_{jk}=M_{kj}$  در حاصل جمع است. اکنون با انتگرال گرفتن از طرفین رابطه ۶-۶، مقدار کل انرژی ذخیره شده در سیستم مرکب از  $n$  حلقه جریان به دست می‌آید. این انرژی را با  $W_m$  نشان می‌دهیم که اندیس  $m$  برای منسوب نمودن انرژی به میدان مغناطیسی است.

$$\begin{aligned} W_m &= W = \frac{1}{2} \sum_{j=1}^n L_{jj} I_j^2 + \frac{1}{2} \sum_{j=1}^n \sum_{k=1}^n M_{jk} I_j I_k \\ &= \frac{1}{2} \sum_{j=1}^n I_j \left( L_{jj} I_j + \sum_{k=1}^n M_{jk} I_k \right) \end{aligned}$$

یا:

$$W_m = \frac{1}{2} \sum_{j=1}^n I_j \Psi_j \quad (67-6)$$

که  $\Psi_j$  شار کل گذرنده از حلقه  $z_j$  در وضعیت نهایی است. دقت کنید که رابطه ۶-۷ در حقیقت تعمیم رابطه ۶-۳ به  $n$  حلقه جریان می‌باشد.

نتیجه به دست آمده در رابطه ۶-۶ را نیز می‌توان برای یک جریان که به طور پیوسته با چگالی  $J$  در حجم  $V$  توزیع شده باشد تعمیم داد. از آنجاکه  $J$  یک کمیت سیموله‌ای فرض می‌شود حجم  $V$  به شکل یک لوله مسدود خواهد بود. برای محاسبه انرژی در این حالت، ابتدا توزیع جریان را به تعدادی حلقه جریان که اندیزه

هر یک برابر  $J \cdot \Delta S$  باشد تقسیم نموده و آنگاه با استفاده از رابطه ۶-۷ عبارت انرژی را برای این تعداد حلقه جریان نوشت و حد آن را وقتی که  $\Delta S$  به صفر میل کند به دست می‌آوریم:

$$W_m = \frac{1}{2} \lim_{\Delta S \rightarrow 0} \sum_j [J \cdot \Delta S]_j \Psi_j = \frac{1}{2} \int_S \Psi J \cdot dS \quad (68-6)$$

که  $S$  سطح مقطع توزیع جریان، که همان سطح مقطع حجم لوله‌ای شکل  $V$  است، می‌باشد. توجه کنید که در انتگرال رابطه ۶-۶،  $\Psi$  شارگ‌ذرنده از سطحی مانند  $S'$  است که به مسیر بسته جریان  $J \cdot \Delta S$ ، که آن را  $C$  می‌نامیم، محدود شود. به منظور ساده نمودن این انتگرال،  $\Psi$  را بر حسب میدان مغناطیسی  $B$  و سپس پتانسیل برداری  $A$  می‌نویسیم:

$$\Psi = \int_{S'} B \cdot dS' = \int_{S'} (\nabla \times A) \cdot dS' = \oint_C A \cdot dL \quad (69-6)$$

حال با جایگزین نمودن  $\Psi$  از این رابطه در رابطه ۶-۶، داریم:

$$W_m = \frac{1}{2} \int_S \oint_C (A \cdot dL) (J \cdot dS) = \frac{1}{2} \int_S \oint_C (A \cdot J) (dL \cdot dS)$$

چابه‌جا نمودن  $dL$  و  $J$  به این دلیل صحیح است که این دو بردار هم‌جهت هستند، زیرا هر دو در امتداد منحنی  $C$  می‌باشند. اکنون، چون  $dL \cdot dS = dV$  است، خواهیم داشت:

$$W_m = \frac{1}{2} \int_V J \cdot A dV \quad (70-6)$$

به همین ترتیب، می‌توان نشان داد که برای یک توزیع سطحی جریان با چگالی  $J_S$  روی سطح  $S$ ، انرژی ذخیره شده در میدان مغناطیسی عبارت است از:

$$W_m = \frac{1}{2} \int_S J_S \cdot A dS \quad (71-6)$$

برای آنکه انرژی را بر حسب میدان مغناطیسی  $B$  به دست آوریم، در رابطه ۶-۷،  $J$  را با  $\frac{\nabla \times B}{\mu}$  جایگزین می‌کنیم:

$$W_m = \frac{1}{2} \int_V \frac{1}{\mu} (\nabla \times B) \cdot A dV \quad (72-6)$$

چون در نقاطی از فضای جریان الکتریکی وجود ندارد  $\nabla \times B = 0$  می‌باشد، تغییر حجم انتگرال‌گیری در رابطه ۶-۷ از  $V$  به تمامی فضا مقدار انتگرال را تغییر نخواهد داد. پس می‌توان نوشت:

$$W_m = \frac{1}{2} \int_{\text{فضای تمام}} \frac{1}{\mu} (\nabla \times B) \cdot A dV \quad (73-6)$$

اکنون از اتحاد برداری  $B \cdot (\nabla \times A) = A \cdot (\nabla \times B) - A \cdot \nabla \times B$  استفاده نموده و در رابطه ۶-۶  $(\nabla \times B) \cdot A$  را با  $B \cdot (\nabla \times A) - \nabla \cdot (A \times B)$  جایگزین می‌کنیم:

$$\begin{aligned} W_m &= \frac{1}{2\mu_0} \int_{\text{تام فضا}} [B \cdot \nabla \times A - \nabla \cdot (A \times B)] dV \\ &= \frac{1}{2\mu_0} \int_{\text{تام فضا}} B \cdot B dV - \frac{1}{2\mu_0} \int_{\text{تام فضا}} \nabla \cdot (A \times B) dV \end{aligned} \quad (74-6)$$

در رابطه ۷۴-۶، از رابطه  $B = \nabla \times A$  در استخراج انتگرال اول استفاده نموده‌ایم. با به کاربردن قضیه دیورژانس، انتگرال دوم را به یک انتگرال سطح تبدیل می‌کنیم:

$$\int_{\text{سطح تمام فضا}} \nabla \cdot (A \times B) dS = \oint_{\text{تام فضا}} (A \times B) \cdot dS \quad (75-6)$$

که منظور از سطح تمام فضا سطح‌های به شعاع بینهایت است. با این وجود، روی چنین سطحی هر توزیع جریان سیم‌لوله‌ای با حجم محدود به صورت یک دوقطبی مغناطیسی باگشتاور محدود  $m$  به نظر می‌رسد. بنابراین، وقتی که  $r$  به سمت بینهایت میل کند،  $B$  و  $A$  به سمت حدود زیر میل می‌کنند:

$$\begin{aligned} B &\rightarrow \frac{\mu_0 m}{4\pi r^2} (2 \cos \theta \hat{a}_r + \sin \theta \hat{a}_\theta) \\ A &\rightarrow \frac{\mu_0 m}{4\pi r^2} \sin \theta \hat{a}_\varphi \end{aligned}$$

که  $m$  در امتداد محور  $Z$  فرض شده است. بدین ترتیب ملاحظه می‌شود که  $|A \times B|$  از مرتبه  $r^{-5}$  می‌باشد، در حالی که  $dS$  از مرتبه  $r^2$  است. در نتیجه انتگرال سمت راست رابطه ۷۵-۶ برابر صفر است. این نتیجه حتی برای یک توزیع جریان بینهایت نیز صادق خواهد بود به شرط آنکه میدان مغناطیسی  $B$  حداقل با نخر  $r^{-3}$  و پتانسیل برداری  $A$  حداقل با نخر  $r^{-1}$  کاهش یابد. پس به طور خلاصه، رابطه ۷۴-۶ به صورت زیر نوشته می‌شود:

$$W_m = \frac{1}{2\mu_0} \int_{\text{تام فضا}} B \cdot B dV = \int_{\text{تام فضا}} \left( \frac{1}{2\mu_0} B^2 \right) dV \quad (76-6)$$

رابطه ۷۶-۶ به وضوح نشان می‌دهد که تصور ذخیره‌شدن انرژی در میدان مغناطیسی کاملاً درست است و تردیدی نیست که کمیت  $\frac{1}{2\mu_0} B^2$  چگالی انرژی مغناطیسی می‌باشد. چنانچه قابلیت نفوذ محیط  $m$  باشد در روابط ۷۶-۶ تا ۷۶-۷ باشد.  $m$  را با  $\mu$  جایگزین نمود.

پس به طور خلاصه، انرژی ذخیره شده در میدان مغناطیسی را می‌توان از رابطه ۷۶-۶ برای جریان‌های خطی، از رابطه ۷۱-۶ برای جریان‌های سطحی، از رابطه ۷۰-۶ برای جریان‌های حجمی و بالاخره از رابطه ۶-۶ برای هر نوع توزیع جریان اعم از خطی، سطحی و حجمی به دست آورد. اگرچه هر یک از روابط مذبور ممکن است در مورد معینی از سادگی خاصی برخوردار باشد، ولی معمولاً از رابطه ۷۶-۶ برای محاسبه انرژی مغناطیسی استفاده می‌شود. انرژی ذخیره شده در میدان مغناطیسی را همچنین می‌توان بر حسب ضربی خودالقایی و جریان بیان داشت. رابطه ۶۳-۶ در واقع چنین شکلی از بیان انرژی را به صورت  $W_m = \frac{1}{2} L I^2$  برای یک مدار تک حلقه‌ای حامل جریان  $I$  نشان می‌دهد. برای یک مدار چند حلقه‌ای نیز به سادگی می‌توان رابطه مشابهی استخراج نمود. آنچه که در این شکل از بیان انرژی جلب توجه می‌کند متناسب

بودن انرژی با مریع جریان است. رابطه ۷۶-۶ نیز این ویژگی را به دلیل وجود جمله  $B^2$  در بردارد. از این رو، می‌توان این شکل بیان انرژی را به توزیعهای پیوسته نیز تعمیم داد و رابطه زیر را برای انرژی ذخیره شده در میدان مغناطیسی حاصل از یک توزیع جریان با مقدار کل I آمپر نوشت:

$$W_m = \frac{1}{2} LI^2 \quad (77-6)$$

که L ضریب خودالقایی مدار حامل جریان I می‌باشد. اکنون با استفاده از روابط ۷۶-۶ و ۷۷-۶ می‌توان تعریف جدیدی برای ضریب خودالقایی به شرح زیر پیشنهاد نمود:

$$L = \frac{1}{\mu_0 I^2} \int_{\text{تام فضای}} B^2 dV \quad (78-6)$$

این رابطه به ویژه برای محاسبه ضریب خودالقایی در مواردی که جریان به صورت حجمی توزیع شده باشد بسیار مناسب است.

مثال ۶-۹ مطلوب است محاسبه انرژی ذخیره شده در واحد طول یک سیم‌لوله طویل با استفاده از الف) رابطه ۶-۷، ب) رابطه ۶-۶.

جریان سیم‌لوله برابر I، شعاع آن برابر a و تعداد دورهای سیم پیچ آن در واحد طول برابر n فرض می‌شود. حل:

یک سیم‌لوله در واقع یک سیستم چند حلقه‌ای جریان محسوب می‌شود که در آن جریان‌های همه حلقه‌ها یکسان می‌باشند. پس در رابطه ۶-۷،  $I_1 = I_2 = I_3 = \dots = I_n = I$  بوده و می‌توان نوشت:

$$W_m = \frac{1}{2} \sum_{j=1}^n I_j \Psi_j = \frac{1}{2} I \sum_{j=1}^n \Psi_j = \frac{1}{2} I \Psi_{tot}$$

اما از طرف دیگر، طبق تعریف اولیه ضریب خودالقایی که در رابطه ۳۹-۶ داده شده است،  $\Psi_{tot} = LI$  و آنگاه:

$$W_m = \frac{1}{2} LI^2$$

که L ضریب خودالقایی سیم‌لوله در واحد طول می‌باشد. با جایگزین نمودن L از رابطه ۴۵-۶ داریم:

$$W_m = \frac{1}{2} \mu_0 \pi a^2 n^2 I^2 \quad (79-6)$$

برای محاسبه انرژی با استفاده از رابطه ۶-۶، ابتدا میدان مغناطیسی سیم‌لوله را که در رابطه ۴۱-۵ به دست آورده‌ایم، می‌نویسیم:

$$B = \begin{cases} \mu_0 n I \hat{a}_z & 0 < r < a \\ 0 & r > a \end{cases}$$

آنگاه انتگرال حجم در رابطه ۶-۶ را به شرح زیر محاسبه می‌کنیم:

$$W_m = \frac{1}{2\mu_0} \int_V' B^2 dV = \frac{1}{2\mu_0} \int_{V_1'} (\mu_0 n I)^2 dV + \dots$$

که  $V^1$  حجم استوانه‌ای به ارتفاع واحد و شعاع بینهایت است. ولی چون میدان مغناطیسی برای  $a > r$  صفر است، انتگرال را باید فقط در حجم  $V_1$  که استوانه‌ای به ارتفاع واحد و شعاع  $a$  است محاسبه نمود، پس می‌توان نوشت:

$$\begin{aligned} W_m &= \frac{1}{2\mu_0} \int_{z=-\infty}^{z=1} \int_{r=0}^{r=a} \int_{\varphi=0}^{\varphi=2\pi} (\mu_0 n I)^2 r dr d\varphi dz \\ &= \frac{1}{2\mu_0} (\mu_0 n I)^2 \left[ \int_0^1 dz \right] \left[ \int_0^{2\pi} d\varphi \right] \left[ \int_0^a r dr \right] = \frac{1}{2} \mu_0 \pi a^2 n^2 I^2 \end{aligned}$$

مثال ۶-۱۰ انرژی مغناطیسی ذخیره شده را در واحد طول کابل هم محور شکل ۶-۱۳ به دست آورده و سپس ضریب خودالقایی کابل را به ازای واحد طول تعیین کنید.

حل:

برای محاسبه انرژی به کمک رابطه ۶-۷۶، به میدان مغناطیسی  $B$  نیاز است که به سادگی با استفاده از قانون مداری آمپر به دست می‌آید، ولی چون این میدان در مثال ۶-۴ محاسبه شده است از محاسبه دوباره آن در اینجا خودداری کرده و فقط به ذکر نتیجه اکتفا می‌کنیم:

$$B = B(r) = \begin{cases} \frac{\mu_0 I r}{2\pi a^2} \hat{a}_\varphi & 0 < r < a \\ \frac{\mu_0 I}{2\pi r} \hat{a}_\varphi & a < r < b \\ 0 & r > b \end{cases}$$

آنگاه:

$$W_m = \frac{1}{2\mu_0} \int_{z=-\infty}^{z=1} \int_{\varphi=0}^{\varphi=2\pi} \int_{r=0}^{\infty} B^2(r) r dr d\varphi dz$$

$$\begin{aligned} W_m &= \frac{1}{2\mu_0} \left[ \int_0^1 dz \right] \left[ \int_0^{2\pi} d\varphi \right] \left[ \int_0^\infty \left( \frac{\mu_0 I}{2\pi a^2} \right)^2 r^2 dr + \int_a^\infty \left( \frac{\mu_0 I}{2\pi r} \right)^2 \frac{dr}{r} \right] \\ &= \frac{1}{2\mu_0} [1][2\pi] \left[ \left( \frac{\mu_0 I}{2\pi a^2} \right)^2 \frac{a^4}{4} + \left( \frac{\mu_0 I}{2\pi} \right)^2 \ln \left( \frac{b}{a} \right) \right] \\ &= \frac{\mu_0 I^2}{4\pi} \left( \frac{1}{4} + \ln \left( \frac{b}{a} \right) \right) \end{aligned} \quad (6-۱۰)$$

با مساوی قرار دادن  $W_m$  با  $\frac{1}{2} LI^2$ ، ضریب خودالقایی کابل هم محور در واحد طول به دست می‌آید:

$$L = \frac{2W_m}{I^2} = \frac{\mu_0}{4\pi} + \frac{\mu_0}{2\pi} \ln \left( \frac{b}{a} \right)$$

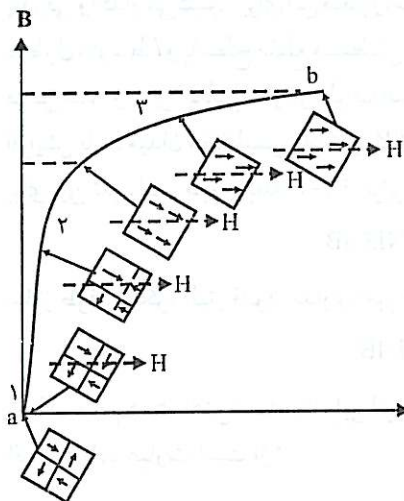
همان‌طور که ملاحظه می‌شود، این نتیجه با آنچه که در رابطه ۶-۴۷ به دست آمد یکسان است.

## ۷-۶ پسماند

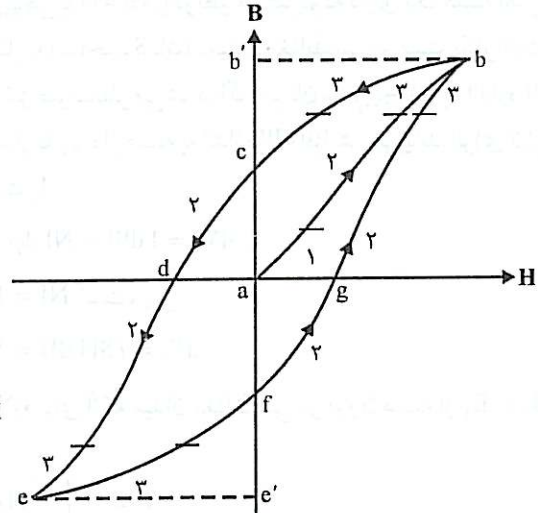
در قسمت ۲-۶ ضمن مطالعه میدان مغناطیسی در اجسام گفته شد که قابلیت نفوذ مواد فرومغناطیسی تابعی از میدان بوده و مقدار ثابتی ندارد. در حقیقت، رابطه بین میدانهای  $B$  و  $H$  در این گونه اجسام غیرخطی و همراه با پسماند است. از این رو رابطه بین  $B$  و  $H$  معمولاً به روش ترسیمی بیان می‌شود. شکل ۱۹-۶-الف یک منحنی  $B-H$  نوعی را برای اجسام فرومغناطیسی نشان می‌دهد. این منحنی را منحنی پسماند نیز می‌نامند. برای شرح منحنی پسماند، با نمونه‌ای از یک جسم فرومغناطیسی مغناطیس نشده شروع می‌کنیم. در ابتدا  $B$  و  $H$  هر دو صفر هستند. این حالت متناظر با نقطه  $a$  روی منحنی است. با افزایش  $H$ ، مغناطیس شدن جسم آغاز گشته و رو به توسعه می‌نهد و در نتیجه میدان  $B$  در امتداد منحنی  $ab$  افزایش می‌یابد تا اینکه سرانجام به نقطه اشباع  $b$  برسد. یادآوری می‌شود که مغناطیس شدن اجسام فرمغناطیسی طی مراحلی صورت می‌پذیرد که به ترتیب عبارتند از:

- ۱ - گسترش برگشت‌پذیر حوزه‌ها، ۲ - گسترش برگشت‌ناپذیر حوزه‌ها، ۳ - چرخش حوزه‌ها.

شکل ۱۹-۶-ب گسترش و چرخش حوزه‌ها را در مراحل مختلف نشان می‌دهد. نواحی مختلف در امتداد منحنی  $ab$  و در سایر قسمتهای منحنی پسماند در شکل ۱۹-۶-الف، که متناظر با وقوع یکی از مراحل مذبور است، به ترتیب با اعداد ۱، ۲ و ۳ مشخص شده‌اند. به عنوان مثال آن نواحی که با عدد ۳ مشخص شده‌اند مترادف با چرخش حوزه‌ها می‌باشند. در نقطه  $b$  که تمام حوزه‌ها به طور کامل با میدان  $H$  تعامل شده هم جهت می‌شوند، افزایش بیشتر  $H$  تغییری در  $B$  نمی‌دهد و گفته می‌شود که جسم تا حد اشباع مغناطیس شده است. حال اگر  $H$  از مقداری که در نقطه  $b$  دارد به سمت صفر کاهش داده شود،  $B$  نیز کاهش می‌یابد ولی کاهش یافتن  $B$  را در جهت عکس نمی‌پیماید، بلکه منحنی دیگری



(ب)



(الف)

شکل ۱۹-۶: پدیده پسماند (الف) منحنی پسماند برای اجسام فرمغناطیسی (ب) نمایش گسترش و چرخش حوزه‌ها

مانند  $B_C$  را در میان مقداری از میدان مغناطیسی القا شده در جسم، حتی پس از برداشتن میدان خارجی، است. در حقیقت، همان طور که قسمت  $cd$  منحنی پسماند نشان می‌دهد یک شدت میدان مغناطیسی در جهت عکس باید به جسم اعمال گردد تا  $B$  به صفر کاهش یابد. مقدار  $B$  را در نقطه  $C$  پسماند جسم و مقدار  $H$  در نقطه  $D$  را نیروی بازگرداننده می‌نامند. افزایش بیشتر  $H$  در جهت جدید منجر به افزایش یافتن  $B$  در این جهت و سرانجام اشباع آن در نقطه  $C$  می‌گردد که قرینه نقطه  $D$  است. بالاخره اگر  $H$  را از مقداری که در نقطه  $C$  دارد به صفر کاهش داده سپس جهت آن را معکوس نموده و افزایش دهیم، تغییرات به وجود آمده در  $B$ ، منحنی  $efgb$  را در میان کند و بدین ترتیب حلقه پسماند کامل می‌شود. اکنون به خوبی آشکار است که اگر یک جسم فرومغناطیسی در اختیار داشته باشیم، وضعیت مغناطیسی کنونی آن به تاریخچه گذشته اش بستگی دارد (بدین معنی که قبل از تأثیر چه میدانی و به چه نحو قرار داشته است). برای آنکه یک دور کامل منحنی پسماند طی گردد، مقداری انرژی باید صرف شود. این انرژی، در حقیقت صرف گسترش دیوارهای حوزه‌ها و عبور دادن آنها از ناخالصی‌ها و ناهمگنی‌های جسم می‌شود و کاملاً به گرما تبدیل گشته و قابل بازیابی نیست. نکته جالب توجه در مورد منحنی پسماند متناسب بودن تلفات پسماند با مساحت این منحنی بسته است. اما قبل از آنکه به بررسی این مطلب بپردازیم، انرژی مغناطیسی ذخیره شده در محیط‌های غیرخطی را به طور مختصر مورد بررسی قرار می‌دهیم.

کلیه روابطی را که در قسمت قبل برای محاسبه انرژی مغناطیسی به دست آورده‌یم فقط برای محیط‌های خطی قابل استفاده هستند. در محیط‌های غیرخطی چگالی انرژی رانمی توان از رابطه  $w_m = B^2 / 2\mu_0$  به دست آورد و باید در جستجوی رابطه جدیدی بود. در اینجا ما با ذکر یک مثال به استخراج رابطه چگالی انرژی مغناطیسی در محیط‌های غیرخطی می‌پردازیم و مطالعه این مسئله را در حالت کلی به مرتع ذکر شده در پاورقی واگذار می‌کنیم.<sup>۱</sup> برای این منظور، سیم پیچی با  $N$  حلقه را در نظر می‌گیریم که دارای یک هسته آهنی به طول متوسط  $L$  و با سطح مقطع مستطیلی شکل به مساحت  $S$  باشد. میدان مغناطیسی در هسته یکنواخت فرض شده و از پراکندگی شار در اطراف هسته نیز صرف نظر می‌شود. اگر جریان سیم پیچ از  $I$  به اندازه  $dI$  افزایش یابد، میدان مغناطیسی به اندازه  $dB$  و شارگزرنده از هسته به اندازه  $d\Psi$  افزایش می‌یابد. انرژی لازم برای این تغییرات، طبق رابطه  $6-1$ ، برابر است با:

$$dW = I d\Psi = NI d\phi = NIS dB$$

اما از طرف دیگر، طبق قانون مداری آمپر  $I = NI / H$  است، پس:

$$dW = I SH dB = VH dB$$

که  $V$  حجم هسته آهنی است. بنابراین انرژی لازم برای آنکه میدان مغناطیسی در درون هسته از  $B_1$  به  $B_2$  افزایش یابد عبارت است از:

$$W = V \int_{B_1}^{B_2} H dB$$

آنگاه چگالی انرژی، یعنی انرژی ذخیره شده در واحد حجم، برابر است با :

$$W_m = \frac{W}{V} = \int_{B_1}^{B_2} H dB \quad (81-6)$$

رابطه ۸۱-۶ یک نتیجه کلی است و حتی وقتی که میدان در حجم  $V$  یکنواخت نباشد و طبعاً برای محیط‌های خطی نیز صادق است.

اکنون با استفاده از رابطه ۸۱-۶ تلفات پسماند را مورد بررسی قرار می‌دهیم. با مراجعه به شکل ۶-۱۹-الف انرژی لازم برای افزایش دادن میدان  $B$  از صفر در نقطه  $a$  به مقدار حالت اشباع در نقطه  $b$ ، با توجه به رابطه ۸۱-۶، متناسب با سطح  $abb'$  است. این انرژی در حقیقت برابر حاصل ضرب سطح  $abb'$  در حجم جسم فرومغناطیسی می‌باشد. با کاهش یافتن  $B$  در امتداد منحنی  $bc$  مقداری از انرژی جذب شده در مرحله قبل به منبع بازگردانده می‌شود. این مقدار متناسب با سطح  $bcb'$  است. به همین ترتیب، در مرحله بعد که  $B$  در امتداد منحنی‌های  $cde$ ,  $ef$  و  $fgb$  تغییر می‌یابد تا حلقه پسماند کامل شود، مقداری از انرژی که متناسب با سطوح  $cde$ ,  $efe$  و  $fgbb'$  می‌باشد بین منبع و جسم فرومغناطیسی رد و بدل می‌شوند. در واقع، انرژی‌هایی که متناسب با سطوح  $cde$  و  $fgbb'$  هستند از منبع گرفته می‌شوند و آن مقدار انرژی که متناسب با سطح  $afe$  است به منبع بازگردانده می‌شود. اگر مقدار انرژی خالصی که منبع به جسم می‌دهد تا یک حلقه کامل پسماند طی شود را محاسبه کنیم، خواهیم دید که متناسب با سطح حلقه پسماند است (توجه کنید که منحنی  $ab$  جزء حلقه محسوب نمی‌شود). بدین ترتیب، درستی این ادعاه که تلفات پسماند متناسب با مساحت حلقه پسماند است تأیید گردید.

## ۶-۸ محاسبه میدان مغناطیسی به کمک پتانسیل نرده‌ای $V_m$

اگرچه پتانسیل مغناطیسی نرده‌ای برخلاف پتانسیل الکتریکی دارای مفهوم فیزیکی نیست، ولی از آن می‌توان به عنوان ابزار مؤثری برای حل پاره‌ای مسائل میدان مغناطیسی استفاده نمود. پتانسیل مغناطیسی نرده‌ای، همان طور که در قسمت ۶-۵ ذکر گردید، به گونه‌ای تعریف می‌شود که شدت میدان مغناطیسی  $H$  مساوی منهای گرادیان آن باشد، یعنی  $H = -\nabla V_m$ . ولی همواره باید به خاطر داشت که این تعریف فقط در نقاطی از فضای چگالی جریان آزاد صفر است معتبر می‌باشد. آنچه که زمینه را برای استفاده از پتانسیل  $V_m$  فراهم می‌سازد، صادق بودن معادله لاپلاس برای این پتانسیل است که ما هم اکنون با روش‌های گوناگون حل آن آشنایی کافی داریم. در حقیقت، استفاده از  $V_m$  و بهره‌برداری از تشابهات موجود بین میدانهای الکتریکی و مغناطیسی در پاره‌ای موارد چنان موقوعیت ویژه‌ای را فراهم می‌آورد که حتی نیازی به انجام محاسبات نخواهد بود. به طوری که اگر پاسخ یک مسئله مربوط به میدان الکتریکی ساکن در اختیار باشد، بی‌درنگ می‌توان پاسخ مسئله مشابه مربوط به میدان مغناطیسی ساکن را نوشت. برای روشن تر شدن مطلب یادآوری می‌کنیم که میدان الکتریکی ساکن در یک محیط بدون بار توسط معادلات  $\nabla^2 V = -\nabla E$  و  $D = \epsilon E$  و میدان مغناطیسی ساکن در یک محیط بدون جریان توسط معادلات  $\nabla^2 V_m = -\nabla H$  و  $B = \mu H$  بیان می‌شود. به علاوه شرایط مرزی برای هر دو میدان یکسان است، زیرا مؤلفه‌های

مماسی  $E$  و  $H$  و مؤلفه‌های عمودی  $D$  و  $B$  در مرز پیوسته هستند. بنابراین پاسخ یک مسئله مربوط به میدان مغناطیسی ساکن را می‌توان با تغییر  $V$  به  $V_m$  در میدان  $E$ ،  $H$  به  $D$  و  $B$  به  $\mu$  از پاسخ مسئله مشابه مربوط به میدان الکتریکی ساکن به دست آورد. اکنون با ذکر چند مثال کاربرد پتانسیل نرده‌ای را در محاسبه میدان مغناطیسی نشان می‌دهیم.

مثال ۱۱-۶ کره‌ای به شعاع  $a$  و با قابلیت نفوذ  $\mu_r = \mu$  در معرض میدان مغناطیسی یکنواخت  $B = B_0 \cdot \hat{a}_z$  قرار می‌گیرد. میدان مغناطیسی را در درون و بیرون کره تعیین نمایید.  
حل:

چون در هیچ نقطه‌ای از فضا جریان الکتریکی آزاد وجود ندارد، معادله لاپلاس و رابطه  $-\nabla V_m$  برای پتانسیل نرده‌ای  $V_m$  صادق می‌باشد و حل مسئله به یافتن جواب معادله  $\nabla^2 V_m = 0$  تحت شرایط مرزی حاکم خلاصه می‌شود. اما چون شکل ریاضی این مسئله با مسئله مشابه برای میدان الکتریکی که در مثال ۹-۴ مطالعه گردید یکسان است، کافی است در روابط  $E = V_m - V_{m0}$ ،  $H = B_0 \cdot \hat{a}_z$  و  $B = B_0 \cdot \hat{a}_z$  را به  $E$ ،  $H$  و  $B$  به  $\mu$  تغییر دهیم تا حل مسئله کنونی به دست آید. پس از انجام تغییرات مذکور، داریم:

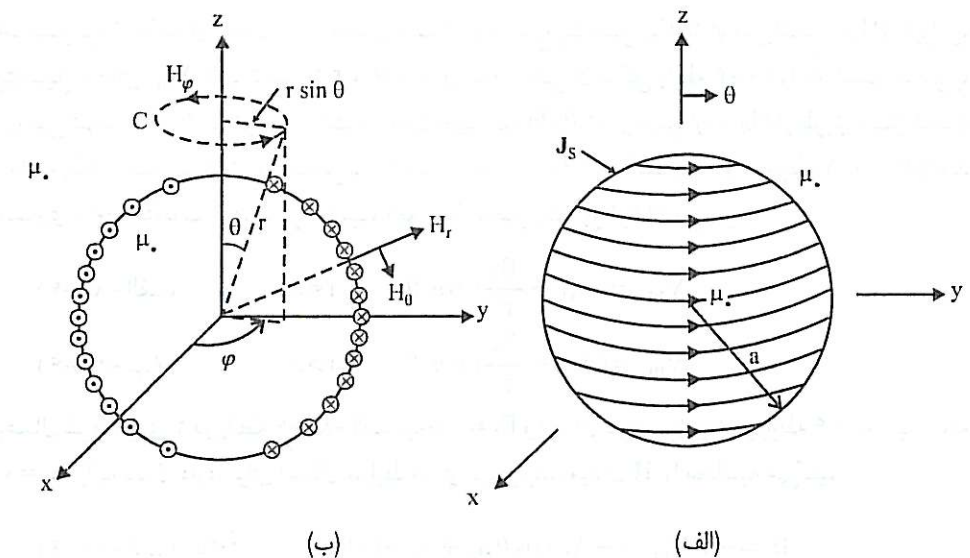
$$\begin{cases} V_m^i(r, \theta) = -\frac{\gamma H_0}{\mu_r + \gamma} r \cos \theta & r \leq a \\ V_m^o(r, \theta) = -\left[ 1 - \frac{\mu_r - 1}{\mu_r + \gamma} \frac{a^3}{r^3} \right] H_0 r \cos \theta & r \geq a \end{cases} \quad (82-6)$$

$$\begin{cases} H^i(r, \theta) = \frac{\gamma H_0}{\mu_r + \gamma} (\cos \theta \hat{a}_r - \sin \theta \hat{a}_\theta) = \frac{\gamma H_0}{\mu_r + \gamma} \hat{a}_z & r < a \\ H^o(r, \theta) = H_0 \left[ 1 + \frac{\gamma(\mu_r - 1)}{\mu_r + \gamma} \frac{a^3}{r^3} \right] \cos \theta \hat{a}_r - H_0 \left[ 1 - \frac{\mu_r - 1}{\mu_r + \gamma} \frac{a^3}{r^3} \right] \sin \theta \hat{a}_\theta & r > a \end{cases} \quad (83-6)$$

$$\begin{cases} B^i(r, \theta) = \mu_r \cdot \mu H^i(r, \theta) & r < a \\ B^o(r, \theta) = \mu_r \cdot H^o(r, \theta) & r > a \end{cases} \quad (84-6)$$

مثال ۱۲-۶ یک رشته سیم نازک حامل جریان  $I$  به صورت یک پوسته کروی به شعاع  $a$  مطابق شکل ۲۰-۶-الف سیم پیچی می‌شود. با فرض آنکه تعداد دورهای سیم پیچ در واحد طول در امتداد محور  $z$  یکنواخت باشد، توزیع جریان حاصل از این سیم پیچ را می‌توان با یک لایه کروی جریان با چگالی  $J_S = J_S \sin \theta \hat{a}_\phi$  تقریب زد. شدت میدان مغناطیسی را در درون و بیرون سیم پیچ محاسبه کنید.  
حل:

چون فقط روی سطح  $r = a$  جریان وجود دارد، رابطه  $H = -\nabla V_m$  در تمام نقاط درون و بیرون سیم پیچ کروی برقرار است و  $V_m$  در معادله لاپلاس صدق می‌کند، یعنی در  $r \neq a$ ،  $V_m = 0$  است. بنابراین حل مسئله وابسته به یافتن جواب معادله لاپلاس برای  $V_m$  تحت شرایط مرزی حاکم است که به شرح زیر خلاصه می‌شوند:



شکل ۶-۲۰: سیم پیچ کروی و میدان ناشی از آن (الف) توزیع جریان معادل برای سیم پیچ کروی (ب) نمایش صفر بودن مؤلفه  $\hat{a}_\varphi$  میدان

$$\begin{aligned}
 1) & \left\{ \begin{array}{l} I \rightarrow \infty \\ V_m \rightarrow 0 \end{array} \right. & 2) & \left\{ \begin{array}{l} I \rightarrow 0 \\ V_m \rightarrow \infty \end{array} \right. \\
 3) & \left\{ \begin{array}{l} r = a \\ H_r = H_{r_1} \end{array} \right. & 4) & \left\{ \begin{array}{l} r = a \\ H_{\theta_1} - H_{\theta_2} = J_s = J_s \sin \theta \end{array} \right.
 \end{aligned} \tag{۸۵-۶}$$

شرایط مرزی ۱ و ۲ به این دلیل اعمال می‌شوند که یک توزیع جریان محدود در هیچ نقطه‌ای از فضا نمی‌تواند پتانسیل و شدت میدان نامحدود داشته باشد. شرط ۳ پیوستگی مؤلفه‌های عمودی میدانها رابر اساس رابطه ۳۷-۶ و شرط ۴ میزان ناپیوستگی مؤلفه‌های مماسی میدانها را بر اساس رابطه ۳۵-۶ بیان می‌نماید. توجه کنید که نواحی درون و بیرون سیم پیچ کروی را می‌توان به صورت دو ناحیه با مرزی در  $r=a$  و با قابلیت‌های نفوذ یکسان در نظر گرفت و شرایط مرزی ۶-۳۵ و ۶-۳۷ را به کار برد.

با استفاده از تقارن استوانه‌ای توزیع جریان نسبت به محور  $Z$  و قانون مداری آمپر می‌توان نتیجه گرفت که مؤلفه  $\varphi$  میدان  $H$  باید برابر صفر باشد. در حقیقت اگر  $H \cdot dL$  را روی یک مسیر دایره‌ای شکل دلخواه، مطابق شکل ۶-۲۰-ب، که مرکز آن منطبق بر محور  $Z$  و صفحه آن عمود بر محور  $Z$  است، محاسبه کنیم چون جریان خالص در برگرفته شده توسط مسیر  $C$  صفر است، داریم:

$$\oint_C H \cdot dL = H_\varphi (2\pi r \sin \theta) = 0$$

و در تمام نقاط خواهیم داشت:

$$H_\varphi = 0$$

اما صفر بودن مؤلفه  $\varphi$  میدان  $H$  به معنای مستقل بودن تابع پتانسیل  $V_m$  از  $\varphi$  می‌باشد. (چرا؟) بنابراین، پتانسیل نرده‌ای  $V_m$  فقط تابعی از  $r$  و  $\theta$  بوده و جواب کلی آن شکل رابطه ۴-۸۰ را دارد. سپس با بررسی شرط مرزی ۴ می‌توان دریافت که چون تغییرات  $H_0 \sin \theta$  را دربردارد و  $H_0$  از طریق مشتق نسبت به  $\theta$  به  $V_m$  وابسته است، تابع پتانسیل باشد تغییراتی به صورت  $\cos \theta$  داشته باشد و در رابطه ۴-۸۰،  $\pi$  را باید مساوی واحد انتخاب کرد. بدین ترتیب، تابع  $V_m$  به صورت زیر نوشته می‌شود:

$$V_{m_1} = (A_1 r + \frac{B_1}{r^2}) \cos \theta \quad r < a \quad (86-6\text{-الف})$$

$$V_{m_2} = (A_2 r + \frac{B_2}{r^2}) \cos \theta \quad r > a \quad (86-6\text{-ب})$$

اعمال شرط مرزی ۲ در رابطه ۶-۸۶-الف نتیجه  $= B_1$  و اعمال شرط مرزی ۱ در رابطه ۶-۸۶-ب نتیجه  $= A_2$  را به دنبال دارد. برای اعمال شرایط مرزی دیگر ابتدا میدان  $H$  را محاسبه می‌کنیم:

$$H_1 = -\nabla V_{m_1} = -A_1 \cos \theta \hat{a}_r + A_1 \sin \theta \hat{a}_\theta \quad r < a \quad (87-6\text{-الف})$$

$$H_2 = -\nabla V_{m_2} = \frac{\gamma B_2}{r^2} \cos \theta \hat{a}_r + \frac{B_2}{r^2} \sin \theta \hat{a}_\theta \quad r > a \quad (87-6\text{-ب})$$

اعمال شرایط مرزی ۳ و ۴ در رابطه ۶-۸۷ به دستگاه دو معادله‌ای زیر می‌انجامد:

$$\begin{cases} \frac{2B_2}{a^3} = -A_1 \\ \frac{B_2}{a^3} - A_1 = J_S. \end{cases} \Rightarrow \begin{cases} A_1 = -\frac{2}{3}J_S. \\ B_2 = \frac{1}{3}a^3 J_S. \end{cases} \quad (88-6)$$

با جایگزین نمودن مقادیر به دست آمده برای  $A_1$  و  $B_2$  در روابط ۶-۸۷ نتیجه نهایی زیر را به دست می‌آوریم:

$$H = \begin{cases} \frac{2}{3}J_S (\cos \theta \hat{a}_r - \sin \theta \hat{a}_\theta) = \frac{2}{3}J_S \hat{a}_z & r < a \\ \frac{1}{3}J_S \left( \frac{a^3}{r^2} \right) (2 \cos \theta \hat{a}_r + \sin \theta \hat{a}_\theta) & r > a \end{cases} \quad (89-6\text{-الف})$$

$$H = \begin{cases} \frac{2}{3}J_S (\cos \theta \hat{a}_r - \sin \theta \hat{a}_\theta) = \frac{2}{3}J_S \hat{a}_z & r < a \\ \frac{1}{3}J_S \left( \frac{a^3}{r^2} \right) (2 \cos \theta \hat{a}_r + \sin \theta \hat{a}_\theta) & r > a \end{cases} \quad (89-6\text{-ب})$$

ملاحظه می‌کنیم که میدان مغناطیسی در درون سیم پیچ کروی یکنواخت و در جهت  $z$  است، در حالی که در بیرون سیم پیچ همانند میدان یک دوقطبی مغناطیسی با گشتاور  $\frac{4\pi a^3}{3} J_S$  می‌باشد.

■

## ۶- نیرو و گشتاور مغناطیسی

با مفهوم نیروی مغناطیسی در قسمت‌های ۱-۵ و ۳-۵ آشنا شدیم. نیرویی که دو مدار حامل جریان بر یکدیگر اعمال می‌کنند از رابطه ۱-۵، که بیان قانون نیروی آمپر است، به دست می‌آید. این نیرو را به صورت نیرویی که میدان مغناطیسی حاصل از یک جریان بر مدار جریان دیگر اعمال می‌کند تعبیر نمودیم. در حالت

کلی اگر مدار C حامل جریان I در میدان مغناطیسی B قرار بگیرد، نیروی اعمال شده بر آن، با توجه به رابطه ۵-۳، برابر است با:

$$\mathbf{F} = I \oint_C d\mathbf{L} \times \mathbf{B} \quad (90-6)$$

در صورتی که میدان B یکنواخت باشد، انتگرال رابطه ۹۰-۶ را می‌توان به صورت  $\mathbf{F} = I \oint_C d\mathbf{L} \times \mathbf{B}$  نوشت و با توجه به اینکه  $d\mathbf{L} = 0$  است،  $\mathbf{F} = 0$  نتیجه می‌شود. اگرچه مقدار خالص نیروی اعمال شده بر یک مدار جریان توسط میدان مغناطیسی یکنواخت B همواره صفر است، گشتاور مکانیکی اعمال شده بر مدار جریان صفر نخواهد بود. این گشتاور سعی بر چرخانیدن مدار جریان دارد به گونه‌ای که میدان حاصل از مدار جریان (وبه بیان دقیق تر گشتاور مغناطیسی مدار جریان) با میدان B هم‌جهت شود. به منظور محاسبه این گشتاور از رابطه  $T = r \times F$  شروع می‌کنیم، که در آن  $F$  عبارت از نیرو، در نقطه‌ای که با بردار مکان  $r$  نسبت به مبدأ مختصات مشخص می‌گردد، بوده و  $G$  گشتاور حاصل از این نیرو می‌باشد. ابتدا مثال ساده‌یک مدار دایره‌ای شکل به شعاع  $a$  و حامل جریان I، که مرکز آن منطبق بر مبدأ مختصات بوده و در صفحه xy واقع باشد، را در نظر می‌گیریم. فرض می‌شود که این مدار جریان در میدان مغناطیسی یکنواخت  $B = B \hat{\mathbf{a}}_y$  قرار dL×B بگیرد. نیروی اعمال شده بر عنصر طول  $dL$  از مدار جریان، بر اساس رابطه ۹۰-۶، برابر است با  $dF = I dL = a \hat{\mathbf{a}}_r d\varphi \hat{\mathbf{a}}_\varphi$  و گشتاور مکانیکی حاصل از  $dF$  عبارت است از  $dT = r \times dF$ ، که  $r = a \hat{\mathbf{a}}_r$  و  $\hat{\mathbf{a}}_r = \cos \varphi \hat{\mathbf{a}}_x + \sin \varphi \hat{\mathbf{a}}_y$ .  $\hat{\mathbf{a}}_\varphi = -\sin \varphi \hat{\mathbf{a}}_x + \cos \varphi \hat{\mathbf{a}}_y$ . عنصر گشتاور  $T$  بصورت زیر خلاصه می‌شود:

$$dT = a^r (\cos \varphi \hat{\mathbf{a}}_x + \sin \varphi \hat{\mathbf{a}}_y) \times [I (-\sin \varphi \hat{\mathbf{a}}_x + \cos \varphi \hat{\mathbf{a}}_y) \times B \cdot \hat{\mathbf{a}}_y] d\varphi \\ = a^r I B (\cos \varphi \sin \varphi \hat{\mathbf{a}}_y - \sin^2 \varphi \hat{\mathbf{a}}_x) d\varphi$$

آنگاه میزان کل گشتاور برای همه مدار جریان عبارت است از:

$$T = \int dT = a^r I B \cdot \left( \underbrace{\hat{\mathbf{a}}_y \int_{0}^{2\pi} \cos \varphi \sin \varphi d\varphi - \hat{\mathbf{a}}_x \int_{0}^{2\pi} \sin^2 \varphi d\varphi}_{=0} \right)_{\pi} \\ = -(I \pi a^r) B \cdot \hat{\mathbf{a}}_x \quad (91-6)$$

با توجه به اینکه مقدار  $I \pi a^r$  اندازه گشتاور مغناطیسی حلقه جریان، و  $\hat{\mathbf{a}}_z \times \hat{\mathbf{a}}_y = -\hat{\mathbf{a}}_x$  و  $m = I \pi a^r \hat{\mathbf{a}}_z$  است؛ نتیجه ۹۱-۶ را می‌توان به صورت زیر بیان داشت:

$$T = m \times B \quad (92-6)$$

نتیجه بیان شده در رابطه ۹۲-۶ گرچه برای یک حلقه جریان دایره‌ای شکل به دست آمد، در حالت کلی برای هر مدار بسته جریان با شکل دلخواه، که در میدان مغناطیسی یکنواخت B قرار بگیرد، صادق است. اگر مسیر جریان یک منحنی بسته مسطح باشد (یعنی بتواند روی یک صفحه قرار بگیرد)، گشتاور

مغناطیسی  $m$  از رابطه  $m = IS\hat{a}_n$  به دست می‌آید، که  $S$  مساحت مدار جریان و  $\hat{a}_n$  بردار واحدی عمود بر صفحه مدار جریان و در جهت پیش روی پیچ راستگردی است که در جهت جریان I چرخانیده شود. در صورتی که مسیر جریان یک منحنی بسته فضایی غیرمسطح باشد، گشتاور مغناطیسی آن از رابطه زیر محاسبه می‌شود:

$$m = \frac{I}{2} \oint_C r \times dL \quad (93-6)$$

اثبات رابطه ۶-۶ برای حالت کلی که  $C$  یک منحنی بسته غیرمسطح است به مسئله ۳۶ در پایان فصل موکول می‌گردد. رابطه ۶-۶ اساس کار موتورهای DC را تشکیل می‌دهد.

### نیرو و گشتاور بر حسب انرژی مغناطیسی ذخیره شده

محاسبه نیروی بین مدارهای جریان، وقتی که این مدارها شکل‌های ساده یا تقارن‌های به خصوصی نداشته باشند، با استفاده از قانون نیروی آمپر کار آسانی نیست. در اینجا روش دیگری مبتنی بر انرژی مغناطیسی ذخیره شده در سیستم ارائه می‌دهیم. شیوه بررسی در اینجا مشابه روشی است که برای مطالعه نیرو و گشتاور الکتریکی در قسمت ۳-۳ به کار بردهیم. فرض کنید سیستمی مرکب از تعدادی توزیع جریان داشته باشیم که بادنای خارج هیچ گونه ارتباطی نداشته باشد. تصور کنید یک جابه‌جایی محازی در این سیستم به اندازه  $\Delta L$  روی دهد. کار لازم برای این جابه‌جایی برابر است با  $\Delta W = F \cdot \Delta L$ . همان نیروی مورد نظر است. چون سیستم با دنای خارج ارتباط ندارد، انرژی مورد نیاز باید از خود سیستم تأمین شود و چنین چیزی فقط در ازای کاهش انرژی مغناطیسی ذخیره شده در سیستم امکان‌پذیر است. بنابراین:

$$\boxed{\Delta W + \Delta W_m = 0} \quad (94-6)$$

که  $\Delta W_m$  تغییر به وجود آمده در انرژی مغناطیسی ذخیره شده در سیستم است اگر جابه‌جایی  $\Delta L$  به وقوع می‌پیوست. با جایگزین نمودن  $\Delta W = F \cdot \Delta L$ ، داریم:

$$\Delta W_m = -F \cdot \Delta L \quad (95-6)$$

پس از به کار بستن تعریف گرادیان یکتابع نرده‌ای، رابطه ۶-۶ به صورت زیر بیان می‌شود:

$$F = -\nabla W_m \Big|_{\phi} \quad (96-6)$$

توجه کنید که «ثابت =  $\phi$ » در رابطه ۶-۶ ناشی از این حقیقت است که چون سیستم با دنای خارج ارتباط ندارد، میزان کل شار مغناطیسی سیستم (متراffد با میزان کل بار الکتریکی در سیستمهای الکتریکی) ثابت باقی می‌ماند.

اگر سیستم مورد مطالعه طوری طرح شده باشد که بتواند حول محوری، مثلاً محور  $Z$ ، بچرخد، کار مورد نیاز برای جابه‌جایی زاویه‌ای  $\Delta\varphi$  برابر است با  $\Delta W = T_z \Delta\varphi$ ، آنگاه:

$$T_z = -\frac{\partial W_m}{\partial \varphi} \Big|_{\phi} \quad (97-6)$$

شکل ۲۱-۶ مدار یک سیستم الکترومکانیکی را نشان می‌دهد که دارای کاربردهای صنعتی متعددی است. جراثقال برقی و کلیدها و رلهای الکترومکانیکی طرز کاری نظری سیستم نشان داده شده در شکل ۲۱-۶ دارند. قسمت اصلی مدار این سیستم شامل یک هسته آهنی U شکل است که به دور آن سیم پیچی با N دور تعییه شده است. جریان I در سیم پیچ شار مغناطیسی  $\phi$  را در مدار تولید می‌نماید. برای محاسبه نیرویی که به وزنه آهنی وارد می‌آید از رابطه ۹۶-۶ استفاده می‌کنیم. در این محاسبه باید  $\phi$  و بنابراین  $S/\phi$  را ثابت نگه داریم، که S سطح مقطع هسته آهنی می‌باشد. اگر وزنه به اندازه  $dx$  از هسته دورتر شود، تغییر به وجود آمده در انرژی مغناطیسی ذخیره شده در سیستم با فرض ثابت ماندن  $\phi$  برابر خواهد بود با:

$$dW_m = \left( \frac{1}{2\mu_0} B^2 \right) dV = \left( \frac{\phi^2}{2\mu_0 S^2} \right) dV \quad (98-6)$$

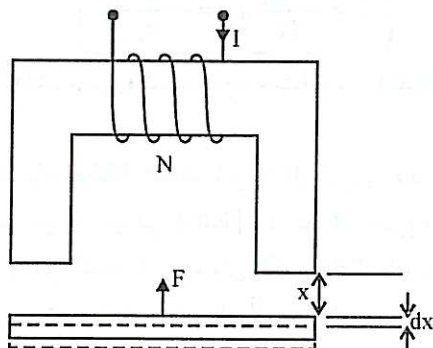
که  $dV = 2S dx$  تغییر حجم مدار مغناطیسی و  $B^2/2\mu_0$  چگالی انرژی مغناطیسی در حجم dV می‌باشد. یادآوری می‌شود که تغییر حجم فقط شامل هواباقابلیت نفوذ  $\mu_0$  می‌باشد. با جایگزین نمودن dV در رابطه ۹۸-۶، نتیجه  $dW_m/dx = B^2 S/\mu_0$  حاصل گشته و آنگاه:

$$\mathbf{F} = -\nabla W_m = -\frac{dW_m}{dx} \hat{\mathbf{a}}_x = -\frac{B^2 S}{\mu_0} \hat{\mathbf{a}}_x \quad (99-6)$$

یک روش دیگر برای محاسبه نیرو و گشتاور مغناطیسی بر حسب انرژی ذخیره شده در سیستم بر این فرض استوار است که سیستم با دنیای خارج ارتباط دارد و انرژی مورد نیاز برای تغییر مکان  $\Delta L$  از منابع خارجی تأمین می‌شود. به عنوان مثال می‌توان تصور کرد که سیم پیچ جریان در سیستم شکل ۲۱-۶ به یک منع جریان وصل می‌باشد و جریان سیم پیچ (I) همواره ثابت است. در این حالت  $\Delta W = \Delta W_m$  است و با استفاده از  $\Delta W = \mathbf{F} \cdot \Delta L$  و تعریف گرادیان، داریم:

$$\boxed{\mathbf{F} = \nabla W_m \Big|_{I=1}} \quad (100-6)$$

در صورتی که سیستم بتواند حول محوری، مثلاً محور Z، بچرخد (نظری آنچه که در مسئله خودآزمایی ۲۸ نشان داده شده است) مؤلفه Z برای گشتاور حاصل، از رابطه زیر به دست می‌آید:



شکل ۲۱-۶: مدار یک سیستم الکترومکانیکی

$$T_z = \left. \frac{\partial W_m}{\partial \varphi} \right|_I \quad (101-6)$$

باید توجه شود که روابط ۹۶-۶ و ۱۰۰-۶ و نیز روابط ۹۷-۶ و ۱۰۱-۶ پاسخهای یکسانی را برای یک سیستم نتیجه می‌دهند.

برای روشن شدن این نکته مدار شکل ۲۱-۶ را درباره، بافرض ثابت باقی ماندن جریان I، مورد بررسی قرار می‌دهیم. فرض کنید قبل از جابه‌جایی  $dx$ ، شار گذرنده از مدار  $\phi$  و رلوکتانس آن  $\mathcal{R}$  باشد. بعد از جابه‌جایی، شار به  $\phi + d\phi$  و رلوکتانس به  $\mathcal{R} + d\mathcal{R}$  تغییر می‌باید. انرژی مغناطیسی ذخیره شده در سیستم، با استفاده از رابطه ۶۷-۶، برابر است با:

$$W_m = \frac{1}{2} \Psi I = \frac{1}{2} NI\phi$$

با دیفرانسیل گرفتن از طرفین این رابطه و توجه به اینکه N و I ثابت فرض می‌شوند، داریم:

$$dW_m = \frac{1}{2} NI d\phi = \frac{1}{2} \mathcal{R}\phi d\phi \quad (102-6)$$

برای محاسبه  $d\phi$ ، رابطه  $m$  (KVL) را در مدار قبل و بعد از جابه‌جایی  $dx$  می‌نویسیم:

$$NI = \mathcal{R}\phi = (\mathcal{R} + d\mathcal{R})(\phi + d\phi) \quad (103-6)$$

با صرف نظر از  $d\mathcal{R} d\phi$  در مقابل جملات دیفرانسیل مرتبه اول در رابطه ۶-۶، داریم:

$$d\phi = -\phi \frac{d\mathcal{R}}{\mathcal{R}} \quad (104-6)$$

با استفاده از رابطه ۶-۶ در رابطه ۱۰۴-۶ و توجه به اینکه  $d\mathcal{R} = 2dx/\mu_s S$ ، نتیجه می‌گیریم که:

$$dW_m = -\frac{\phi^* dx}{\mu_s S} = -\frac{B^* S}{\mu_s} dx$$

و سرانجام بر اساس رابطه ۱۰۰-۶، خواهیم داشت:

$$F = \frac{dW_m}{dx} \hat{a}_x = -\frac{B^* S}{\mu_s} \hat{a}_x \quad (105-6)$$

مالحظه می‌کنیم، همان‌طور که انتظار می‌رفت، نتیجه به دست آمده در رابطه ۶-۶ دقیقاً برابر نتیجه قبلی در رابطه ۹۹-۶ می‌باشد.

اگر از این سیستم به عنوان یک جراثقال استفاده شود، اندازه نیروی F باید حداقل مساوی نیروی جاذبه زمین بروزنه باشد. به عبارت دیگر،  $|F| \geq mg$  که  $m$  جرم وزنه و  $g$  شتاب ثقل زمین (متر بر مجدور ثانیه  $= 9,8$ ) می‌باشد. بنابراین، برای آنکه جراثقال قادر به بلند کردن وزنه باشد، چگالی شار مغناطیسی مورد نیاز در هسته باید شرط زیر را برآورده سازد:

$$B \geq \sqrt{\frac{\mu_s mg}{S}} \quad (106-6)$$

## ۶-۱ خلاصه‌ای از میدانهای الکتریکی و مغناطیسی ساکن

اکنون که با میدانهای الکتریکی و مغناطیسی ساکن آشنا بی‌لازم را کسب نموده‌ایم، جا دارد که خلاصه‌ای از قوانین بنیادی حاکم بر این دو میدان و روابط مهم استخراج شده از آنها را ارائه نماییم. در هر دو مورد میدان الکتریکی و میدان مغناطیسی، یک قانون تجربی زیربنای کلیه قوانین و روابط دیگر را تشکیل می‌دهد. مثلاً در مورد میدان الکتریکی ساکن قانون کولمب اساس نظریه میدان است و سایر قوانین، فرمول‌ها و روابط، ریشه در این قانون دارند. با این وجود، آنچه که به عنوان قوانین حاکم بر میدانها از اهمیت ویژه‌ای برخوردارند قوانین ماسکول می‌باشند که مatabe حال آنها را برای میدانهای ساکن آموخته‌ایم. در نهایت این قوانین ماسکول هستند که به صورت جامع ترین روابط قادر به تشریح کلیه خصوصیات و رفتار میدانها می‌باشند و به درستی اساس مطالعه میدانهای الکترو-مغناطیس را تشکیل می‌دهند.

در جدول ۶-۱ خلاصه‌ای از قوانین و روابط مهم برای میدانهای الکتریکی و مغناطیسی ساکن درج شده است. این جدول همچنین مقایسه روش‌گرانه‌ای از میدانهای الکتریکی و مغناطیسی ساکن به عمل می‌آورد و اختلافات و تشابهات آنها را به خوبی آشکار می‌سازد.

جدول ۶-۱: خلاصه‌ای از قوانین بنیادی و روابط مهم برای میدانهای الکتریکی و مغناطیسی ساکن

میدان الکتریکی ساکن	میدان مغناطیسی ساکن	
$F_{21} = \frac{Q_1 Q_2 R_{21}}{4\pi\epsilon_0 R_{21}^3}$	$F_{21} = \int_{C_1} \int_{C_2} \frac{\mu_0 I_1 I_2 dL_2 \times (dL_1 \times R_{21})}{4\pi R_{21}^3}$	قوانین تجربی نیرو
$F = qE$	$F = qv \times B = IdL \times B$	تعریف
$E = \frac{QR}{4\pi\epsilon_0 R^3}$	$dB = \frac{\mu_0 I dL' \times R}{4\pi R^3}$	میدان ناشی از توزیع نقطه‌ای
$E = \int_{C'} \frac{\rho_L(r') (r - r') dL'}{4\pi\epsilon_0  r - r' ^3}$	$B = \int_{C'} \frac{\mu_0 I dL' \times (r - r')}{4\pi  r - r' ^3}$	توزیع خطی
$E = \int_{S'} \frac{\rho_S(r') (r - r') dS'}{4\pi\epsilon_0  r - r' ^3}$	$B = \int_{S'} \frac{\mu_0 J_S(r') \times (r - r') dS'}{4\pi  r - r' ^3}$	توزیع سطحی
$E = \int_{V'} \frac{\rho_V(r') (r - r') dV'}{4\pi\epsilon_0  r - r' ^3}$	$B = \int_{V'} \frac{\mu_0 J(r') \times (r - r') dV'}{4\pi  r - r' ^3}$	توزیع حجمی
$\oint_S E \cdot dS = \frac{1}{\epsilon_0} (بار محصور در S)$ $\nabla \cdot E = \rho_V / \epsilon_0$	$\oint_C B \cdot dL = \mu_0 (جریان محصور در C)$ $\nabla \times B = \mu_0 J$	قوانین گوس و آنبر شکل انتگرالی شکل نقطه‌ای
$\oint_C E \cdot dL = 0$ $\nabla \times E = 0$	$\oint_S B \cdot dS = 0$ $\nabla \cdot B = 0$	خواص میدان شکل انتگرالی شکل نقطه‌ای

$V = \frac{Q}{\epsilon_0 R}$	$A = \frac{\mu_0 I dL'}{\epsilon_0 R}$	پتانسیل ناشی از توزیع نقطه‌ای
$V = \int_C \frac{\rho_L(r') dL'}{\epsilon_0 \pi \epsilon_0  r - r' }$	$A = \int_C \frac{\mu_0 I dL'}{\epsilon_0 \pi  r - r' }$	توزیع خطی
$V = \int_S \frac{\rho_S(r') dS'}{\epsilon_0 \pi \epsilon_0  r - r' }$	$A = \int_S \frac{\mu_0 J_S(r') dS'}{\epsilon_0 \pi  r - r' }$	توزیع سطحی
$V = \int_V \frac{\rho_V(r') dV'}{\epsilon_0 \pi \epsilon_0  r - r' }$	$A = \int_V \frac{\mu_0 J(r') dV'}{\epsilon_0 \pi  r - r' }$	توزیع حجمی
$E = -\nabla V$	$B = \nabla \times A$	روابط پتانسیل و میدان
$\nabla^2 V = -\rho_V / \epsilon_0$	$\nabla^2 A = -\mu_0 J$	معادله پواسون
$\nabla \cdot D = \rho_V$	$\nabla \cdot H = J$	قوانين ماکسول
$\nabla \times E = 0$	$\nabla \cdot B = 0$	
$D = \epsilon E = \epsilon_0 E + P$	$B = \mu H = \mu_0 (H + M)$	روابط بین میدانها
$\epsilon = \epsilon_0 \epsilon_r$	$\mu = \mu_0 \mu_r$	قابلیت‌های گذردگی و نفوذ
$\hat{a}_n \cdot (D_\parallel - D_\perp) = \rho_S$	$\hat{a}_n \times (H_\parallel - H_\perp) = J_S$	شرایط مرزی
$\hat{a}_n \times (E_\parallel - E_\perp) = 0$	$\hat{a}_n \cdot (B_\parallel - B_\perp) = 0$	
$\rho_{PS} = \hat{a}_n \cdot P$	$J_{ms} = -\hat{a}_n \times M$	توزیعهای القایی
$\rho_P = -\nabla \cdot P$	$J_m = \nabla \times M$	
$C = \frac{Q}{V}$	$L = \frac{\Psi}{I}$	ظرفیت و ضریب خودالقایی
$R = \frac{V}{I}$	$\mathcal{R} = \frac{V_m}{\phi}$	مقاومت و رلوکتانس
$W_e = \frac{1}{2} \int_V E \cdot D dV$	$W_m = \frac{1}{2} \int_V H \cdot B dV$	انرژی ذخیره شده
$F = -\nabla W_e \Big _{\text{ ثابت } Q}$	$F = -\nabla W_m \Big _{\text{ ثابت } \phi}$	نیرو
$F = \nabla W_e \Big _{\text{ ثابت } V}$	$F = \nabla W_m \Big _{\text{ ثابت } I}$	
$T_z = -\frac{\partial W_e}{\partial \varphi} \Big _{\text{ ثابت } Q}$	$T_z = -\frac{\partial W_m}{\partial \varphi} \Big _{\text{ ثابت } \phi}$	گشتاور
$T_z = -\frac{\partial W_e}{\partial \varphi} \Big _{\text{ ثابت } V}$	$T_z = -\frac{\partial W_m}{\partial \varphi} \Big _{\text{ ثابت } I}$	